

60

Sej



UNIVERSIDAD NACIONAL AUTONOMA
DE MEXICO

FACULTAD DE QUIMICA

SINTESIS DEL COPOLIMERO DE ESTIRENO
Y α -METILESTIRENO

T E S I S

QUE PARA OBTENER EL TITULO DE
INGENIERO QUIMICO
P R E S E N T A :
FERNANDO LUNA CANUT

1991

FALLA DE ORIGEN



UNAM – Dirección General de Bibliotecas Tesis Digitales Restricciones de uso

DERECHOS RESERVADOS © PROHIBIDA SU REPRODUCCIÓN TOTAL O PARCIAL

Todo el material contenido en esta tesis está protegido por la Ley Federal del Derecho de Autor (LFDA) de los Estados Unidos Mexicanos (México).

El uso de imágenes, fragmentos de videos, y demás material que sea objeto de protección de los derechos de autor, será exclusivamente para fines educativos e informativos y deberá citar la fuente donde la obtuvo mencionando el autor o autores. Cualquier uso distinto como el lucro, reproducción, edición o modificación, será perseguido y sancionado por el respectivo titular de los Derechos de Autor.

Índice

Introducción.....	1
Objetivos.....	4
 CAPITULO I : ANTECEDENTES	
Polimercación en Emulsión.....	5
Cinética de la Copolimerización en Emulsión...	11
Efecto Antapendítico.....	16
Ecuación de la Copolimerización con Efecto Antapendítico.....	20
 CAPITULO II : TECNICAS EXPERIMENTALES.	
Componentes de la Polimerización en Emulsión..	25
Reactor por Lotes.....	27
Técnicas de Caracterización.....	29
 CAPITULO III : DESARROLLO EXPERIMENTAL.	
Síntesis.....	30
Caracterización.....	40
Resultados.....	48
Conclusiones.....	66
Apéndice A.....	91
Bibliografía.....	96

Introducción

La copolimerización en emulsión de estireno y α -metilestireno es un sistema de reacción de gran complejidad, pues en él ocurren diversos tipos de fenómenos. El primero de ellos es la baja reactividad del α -metilestireno, pues este monómero tiene una constante de homopolimerización extraordinariamente baja. Además, las razones de reactividad no favorecen su adición a la cadena durante la copolimerización con el estireno.

Sin embargo, la baja reactividad del α -metilestireno no basta para explicar el comportamiento de este sistema de copolimerización. El α -metilestireno es un monómero del tipo estilénico 1,1 disubstituido que presenta el llamado efecto antependulino que se manifiesta en reducciones de la velocidad de copolimerización, es decir, se tienen conversiones bajas aún en tiempos muy largos de reacción e incluso es imposible sintetizar el homopolímero vía radicales libres.

A estos dos fenómenos se añade un tercero : la pérdida de estabilidad de la emulsión. Al transcurrir tiempos considerables de reacción existiendo en el sistema cantidades importantes de monómero residual, se produce la floculación de masas de polímero hinchado en el monómero. En trabajos anteriores (24) se sintetizó el poliestireno- α -metilestireno en emulsión y se estudió la influencia de la composición de la alimentación y la influencia del tipo de iniciador en el rendimiento y la composición final del copolímero, también se reportó el desarrollo un modelo de simulación que permite predecir el comportamiento de este sistema

en particular.

Este trabajo pretende estudiar la influencia de la variación de parámetros de reacción tales como temperatura, tasa de sólidos y concentración de agente tensioactivo en el rendimiento y en la composición del producto, además que se contrastarán los datos experimentales con los que se obtengan a través de la simulación del proceso. Todo este esfuerzo está enfocado para lograr látices estables, conversiones mayores a las reportadas y a obtener copolímeros ricos en α -mestilestireno, que son materiales de una elevada resistencia térmica (T_g relativamente alta).

En el primer capítulo se presenta el planteamiento cinético de la copolimerización normal en emulsión desarrollado por Nessura, debido a que este planteamiento es de gran sencillez y claridad teórica, en seguida se hace una presentación del efecto antependultimo según lo explicó Lowry y, por último, se presenta el planteamiento cinético de la copolimerización en emulsión con efecto antependultimo desarrollado también por Lowry.

En el segundo capítulo se presentan los componentes de la polimerización en emulsión, las características de los reactivos utilizados en las distintas corridas, las características del sistema de reacción y las técnicas empleadas en la caracterización de los productos.

En el tercer capítulo se muestran diversas reacciones de copolimerización en emulsión efectuadas en un reactor por lotes y con las cuales se ha estudiado el efecto de la variación de los parámetros de reacción ya mencionados en el rendimiento de la reacción y en la composición final del producto y los resultados

han sido contrastados con el modelo de simulación. Además, por medio de la simulación ha sido posible estimar la constante de homopolimerización del α -mestilestireno a distintas temperaturas y, por tanto, también fue posible estimar su energía de activación.

Objetivos.

- Sintetizar mediante polimerización en emulsión copolímeros con una elevada temperatura de transición vítrea a partir de estireno y α -metilstireno y cuantificar el contenido de este último en el copolímero.
- Estudiar la influencia de la variación de parámetros de polimerización en emulsión en la síntesis de copolímeros tales como temperatura, % de sólidos, etc.
- Caracterizar los materiales obtenidos y contrastar los valores cinéticos experimentales con un modelo de simulación teórica.
- Analizar la presencia del efecto antependulino en la síntesis del poliestireno co- α -metilstireno).
- Estudiar el efecto de diversos parámetros de reacción en la estabilidad de la emulsión durante las síntesis.

CAPITULO I**ANTECEDENTES**

Polymerización en Emulsión

Generalidades.

La polymerización en emulsión es una de los procesos más comunes en la actualidad para la producción industrial de polímeros. Este tipo de polymerización consiste básicamente en la emulsificación de un monómero, insoluble en agua, en un medio continuo acuoso usando a un agente tensioactivo para así obtener una emulsión aceite en agua. La polymerización se logra utilizando un iniciador, generalmente soluble en agua. El producto de la polymerización en emulsión es una dispersión coloidal de partículas de polímero en agua.

El producto final de la polymerización en emulsión se le conoce generalmente como látex y, en algunas industrias, como por ejemplo en pinturas y adhesivos, se utiliza directamente. Sin embargo, si se requiere al polímero en masa, deberá efectuarse la separación entre el polímero y el resto de la emulsión, encontrándose frecuentemente la permanencia de los tensioactivos, coagulantes y restos de iniciador como impurezas en el producto final. Pero debido al estado físico de la polymerización en emulsión, es posible controlar la temperatura del sistema ya que la viscosidad cambia muy poco con la conversión, en contraste con otros tipos de polymerización en los que los problemas debidos al cambio de la viscosidad de la mezcla reaccionante los hacen muy difíciles de controlar.

Existen cuatro tipos de sistemas de polymerización en emulsión :

- 1.- Por lotes : en donde todos los ingredientes se colocan en el reactor y la reacción se

deja reaccionar el tiempo necesario.

2.- Semicontinuo : en donde se agrega continuamente sondaere a la mezcla reaccionante que se encuentra a la temperatura de polimerización.

3.- Continuo : en donde todos los ingredientes se agregan continuamente por una parte del reactor y por otra parte, se saca el látex en forma también continua.

4.- Composición controlada : donde el sondaere más reactivo se añade a la velocidad de consumo.

Por otra parte, la polimerización en emulsión inversa consiste en la emulsificación de un sondaere, soluble en agua, en un medio continuo orgánico, usando un iniciador soluble en una fase orgánica y el producto de la polimerización es una dispersión coloidal de partículas de polímero en una fase orgánica.

Componentes de la Polimerización en Emulsión.

Los principales componentes son : sondaere(s), dispersante, agente tensioactivo e iniciador.

El dispersante es el medio donde los demás componentes se dispersan en forma de una emulsión gracias al agente tensioactivo. El dispersante más usado es el agua.

Al principio el agente tensioactivo está en forma de moléculas. Estas moléculas se forman cuando la concentración de tensioactivo es mayor a la concentración molecular crítica (CMC). Las moléculas del tensioactivo se agregan en forma de esferas o cilindros con sus

extremos hidrofóbicos orientados hacia adentro de la micela y sus extremos hidrofílicos orientados hacia afuera de la micela.

Cuando se agregan los monómeros, generalmente insolubles en agua, la mayor parte se dispersa en gotas cuya tamaño depende principalmente de la velocidad de agitación, dichas gotas se estabilizan gracias a las moléculas de tensioactivos adsorvidas en su superficie, otra parte, muy pequeña, alcanza a solubilizarse en el agua y otra parte, también pequeña, entra en las micelas. En un sistema de polimerización en emulsión típico, la cantidad de monómero en gotas es mayor que el monómero en el interior de las micelas.

El iniciador está presente en la fase acuosa y es aquí donde se producen las primeras radicales libres. La iniciación por radicales libres requiere la creación de radicales capaces de reaccionar con algún monómero (22.).

La iniciación térmica de algunos monómeros, especialmente estireno (18.), se puede usar aunque estas reacciones son normalmente demasiado lentas para usos prácticos, excepto a temperaturas elevadas (18.).

Otro método de iniciación es el uso de radiación de alta energía en forma de neutrones / ó rayos γ. Estos métodos son efectivos pero difíciles de controlar y en ocasiones originan reacciones idínicas en vez de reacciones por radicales (18.).

La iniciación mediante el uso de un par redox, permite la producción de radicales libres a temperatura ambiente e incluso a temperaturas bajas (18.). En este tipo de iniciación, ésta se da como consecuencia de una reacción de oxidación-reducción entre dos componentes del iniciador. Un sistema redox común es la combinación

de un peróxido o hidroperóxido con un metal en estado reducido y que, por tanto, se puede oxidar.



La polimerización se lleva a cabo casi exclusivamente en el interior de las micelas. Las micelas son el lugar en donde se encuentran el iniciador soluble en agua y los monómeros solubles en fase orgánica. Conforme la polimerización progresá, las partículas crecen debido a la adición de monómero proveniente de la fase acuosa y éste a su vez es reemplazado por disolución del monómero que está en forma de gotas.

Etapas de la Polimerización en Emulsión.

En una polimerización en emulsión se distinguen tres intervalos (17.) (I, II, III) de acuerdo al número de partículas (M_p) y a la existencia de una fase separada de monómero, ésta existe en los intervalos I y II mientras que el número de partículas aumenta con el tiempo sólo en el intervalo I.

Durante el intervalo I ocurre lo siguiente : tiene lugar la nucleación, aumenta el número de partículas hasta estabilizarse. Conforme crecen las partículas de polímero, tanto en tamaño como en contenido de polímero y monómero, adsorben cada vez más tensioactivo para así conservar su estabilidad. Cuando la concentración de tensioactivo está por debajo de la concentración micelar crítica, las micelas inactivas se vuelven inestables y se disuelven. Para la parte final del intervalo I, prácticamente todo el tensioactivo

presente ha sido adsorbido por las partículas de polímero.

Todos los mecanismos de nucleación que se han propuesto para explicar la formación de partículas de polímero se pueden dividir en tres, de acuerdo al lugar donde se lleva a cabo la iniciación (10.).

- 1.- Micelar.
- 2.- En la fase acuosa.
- 3.- En las gotas de condensado.

En la nucleación micelar, los radicales generados en la fase acuosa, entran en las micelas e inicien la polimerización formando así una partícula de polímero. Las micelas que no capturan ningún radical, ceden su condensado y agente tensioactivo a aquellas que sí lo hicieron. La etapa de nucleación termina con la desaparición de las micelas. Las gotas de condensado actúan como almacenajes de condensado y lo van cediendo a las micelas e a las partículas de polímero mediante un mecanismo de difusión a través de la fase acuosa.

De acuerdo al mecanismo de iniciación en la fase acuosa, también conocida como nucleación heterogénea, los radicales generados en la fase acuosa capturan unidades monoméricas hasta que el radical oligomérico que se forma excede su solubilidad y se precipita. Estos radicales oligoméricos forman partículas esféricas, que para estabilizarse adsorben moléculas de emulsificante y más condensado, convirtiéndose así en partículas primarias. En este mecanismo, la función del agente tensioactivo es la de estabilizar las partículas que se precipitan en la fase acuosa. Este mecanismo se aplica generalmente a aquellos condensados que son parcial o totalmente solubles en agua (22.).

Las gotas de sondero son relativamente grandes y, por tanto, tienen poca área superficial que sea capaz de capturar algún radical de la fase acuosa; por eso, estas gotas actúan más bien como almacenes de materia prima que abastecen a las partículas de polímero ya formadas. Sin embargo, en la mayoría de las polimerizaciones por lotes (22.), algunas gotas de sondero logran a capturar a algún radical y forma una partícula microscópica que generalmente está fuera de la distribución de tamaños de partícula.

Durante el intervalo II, la polimerización prosigue en las partículas de polímeros y la concentración de sondero en éstas se mantiene en equilibrio de saturación gracias a la difusión de sondero de la solución. Esto provoca que las partículas de polímero aumenten de tamaño y al mismo tiempo las gotas de sondero disminuyan el suyo. El intervalo II finaliza cuando las gotas de sondero desaparecen.

En el intervalo III, el número de partículas es el mismo que en el intervalo II pero la concentración de sondero disminuye conforme pasa el tiempo ya que en este intervalo, las gotas de sondero ya no existen. La polimerización continua hasta que se agota el sondero presente tanto en la solución como en las partículas de polímero, conversiones finales de casi 100% son comunes en este sistema de polimerización.

Cinética de la Copolimerización en Suspensión.

La copolimerización implica la polimerización de dos monómeros distintos, para formar productos que contienen unidades de ambos monómeros incorporados en su cadena, a dichos productos se les conoce como copolímeros. La cantidad de cada monómero que se incorporará a la cadena principal se ve determinado por la concentración relativa de éste y por su reactividad.

Las expresiones de velocidad de reacción para cada monómero son:

$$r_n = [M_n]_0 \frac{dx}{dt}$$

$$r_n = \frac{K_{pn} [M_n]_0 n_p N_p}{N_a} + \frac{K_{pn} [M_n]_0 n_p N_p}{N_a}$$

$$r_n = [M_n]_0 \frac{dx_n}{dt}$$

$$r_n = \frac{K_{pn} [M_n]_0 n_p N_p}{N_a} + \frac{K_{pn} [M_n]_0 n_p N_p}{N_a}$$

donde

$[M_n]_0$: concentración inicial del monómero n.

x_n : conversión del monómero n.

K_p : constantes de propagación.

\bar{n} : número promedio de radicales libres por partícula.

N_p : número de partículas por cm^3 de agua.

N_A : número de Avogadro.

$[M_n]_p$: concentración de monómero en la partícula.

Estas cantidades son evaluadas de la forma siguiente:

(M)p

Se ha supuesto que la concentración de sondóceros en la partícula corresponde al hinchamiento máximo del copolímero en la mezcla de sondóceros a la misma temperatura.

Para el sistema estireno- α -metilestireno se ha encontrado (24) una expresión bastante sencilla debido a la semejanza que existe entre los hinchamientos de los dos homopolímeros, para el caso del poliestireno se tiene reportado en la literatura un valor de : $(S)p = 5.1 \text{ M}$ y para el α -metilestireno de : $(\alpha MME)p = 3.3 \text{ M}$:

$$[M]_{hp} = [S]_{hp} \cdot \psi_M$$

en donde ψ_M es la composición del sondóceros i en las gotas, debido a que se ha supuesto que la proporción de las composiciones de sondóceros en las gotas y en las partículas es la misma (24).

\bar{n}_1 , \bar{n}_2 , \bar{n}_3

El número total de radicales libres en una sola partícula de polímero es la suma de los radicales 1 y 2 (15).

$$\bar{n} = \bar{n}_1 + \bar{n}_2 \quad (1)$$

Al asumirse estado estacionario dentro de la partícula las velocidades de reacción cruzadas son iguales :

$$K_{p12} [M_2]_p n_1 = K_{p21} [M_1]_p n_2 \quad (2)$$

De (2) :

$$\frac{\bar{n}_1}{\bar{n}_2} = \frac{K_{p21} [M_1]_p}{K_{p12} [M_2]_p} = A$$

Recurriendo a la ecuación (1) :

$$\bar{n}_1 = \frac{\bar{n}}{1 + 1/A}$$

$$\bar{n}_2 = \frac{\bar{n}}{1 + A}$$

El cálculo riguroso del número promedio de radicales libres per-

partícula se puede efectuar con la correlación de Ugelstad-Nesura
(15) :

$$n = 0.5 \left[\left(\alpha + \alpha/\kappa \right)^2 + 2 \left(\alpha + \alpha/\kappa \right)^{1/2} \left(\alpha + \alpha/\kappa \right) \right] + \left(0.25 + \alpha/2 \right)^{1/2} \kappa .5$$

Donde α y κ son parámetros adimensionales definidos como :

$$\alpha = \frac{K_f V_p}{K_t K_p}$$

K_f : velocidad de fugaación de radicales.

V_p : volumen promedio de la partícula.

K_t : constante de terminación de los radicales en la partícula.

$$\kappa = \frac{K_f V_p}{K_t}$$

K_f : coeficiente de desorción de radicales desde la partícula.

Para el caso del estireno-m-metilestireno los valores de \bar{n} calculados con la correlación de Ugelstad no difieren en más del 1% del valor correspondiente al caso II de Smith-Ewart.

$$\bar{n} = 0.5$$

M_p

En cuanto al número de partículas, es fácil hacer la determinación experimental midiendo el diámetro seco de partícula y relacionarla con el número de partículas.

Varición de M_p .

Cada reacción de polimerización se caracteriza por una velocidad de descomposición del iniciador y existe un grado de polimerización crítico X_c , que consiste en lo siguiente : las cadenas al tener un

grado de polimerización $X_{v(X)}$, permanecen flexibles y permiten tanto la difusión del sondero a través de ellas como la aproximación de radicales libres hacia el sondero. Pero cuando $X_{v(X)}$, las cadenas se vitrifican y forman una malla rígida que impide el paso del sondero hacia los radicales libres, por lo que la reacción entre radicales y partículas decrece notablemente (dissinución de K_p).

Hansielec (13) desarrolló ecuaciones que describen las variaciones de la constante aparente de propagación durante el efecto vitreo :

$$K_p = K_{p_0} \exp(-B (1/v_f - 1/v_{fc})$$

donde :

K_p : constante de propagación aparente.

K_{p_0} : constante de propagación.

v_f : volumen libre

B : parámetro ajustable.

v_{fc} : volumen libre crítico.

Volumen libre es el espacio vacío que se forma entre las cadenas de polímero, las cuales se encuentran enredadas entre sí formando una malla. El volumen libre se determina usando la ecuación de Deouche (3) :

$$v_f = \phi_m[0.025 + \alpha_m(T - T_{gm})] + \phi_p[0.025 + \alpha_p(t - T_{gp})]$$

- ϕ_m, ϕ_p : fracciones volumétricas de sondadore y polímero.

- α_m, α_p : coeficientes de expansibilidad térmica del sondadore y polímero.

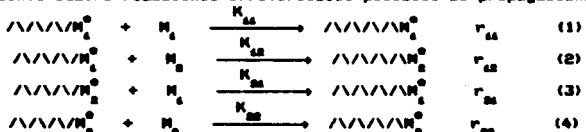
- T_{gp} : temperatura de transición vitrea del polímero.

- T_{gm} : temperatura de transición vitrea del polímero a dilución infinita en el sondadore.

Efecto Antipodalismo.

Deducción de la Ecuación de Copolimerización Normal.

En la copolimerización más simple por radicales libres, se tienen solamente cuatro reacciones irreversibles posibles de propagación.



En el estado estacionario la concentración de cada radical es constante, para que ésto ocurra, las velocidades de reacción cruzadas deben ser iguales. De esta forma cuando desaparece un M_1^{\bullet} por que reacciona con M_2 y generar M_2^{\bullet} , a la misma velocidad debe desaparecer M_2^{\bullet} por haber reaccionado con M_1 y formar M_1^{\bullet} , es decir:

$$r_{12} = r_{21}$$

La expresión de velocidad de reacción para todas las reacciones anteriores es en general:

$$r_{nm} = K_{nm} [M_n^{\bullet}] [M_m]$$

Para la reacción (2) :

$$r_{12} = K_{12} [M_1^{\bullet}] [M_2]$$

Para la reacción (3) :

$$r_{21} = K_{21} [M_2^{\bullet}] [M_1]$$

Caso 1: $r_{12} = r_{21}$

$$K_{12} [M_1^{\bullet}] [M_2] = K_{21} [M_2^{\bullet}] [M_1]$$

Despejando $[M_2^{\bullet}]$:

$$[\text{M}_1^0] = \frac{K_{12} [\text{M}_1^0] [\text{M}_2]}{K_{21} [\text{M}_2]} \quad (5)$$

Las expresiones de rapidez de desaparición para cada monómero son:

$$-\frac{d[\text{M}_1]}{dt} = K_{11} [\text{M}_1^0] [\text{M}_1] + K_{21} [\text{M}_2^0] [\text{M}_1] \quad (6)$$

$$-\frac{d[\text{M}_2]}{dt} = K_{22} [\text{M}_2^0] [\text{M}_2] + K_{12} [\text{M}_1^0] [\text{M}_2] \quad (7)$$

La relación de desaparición de monómeros es (6)/(7) :

$$\frac{d[\text{M}_1]}{d[\text{M}_2]} = \frac{[\text{M}_1]}{[\text{M}_2]} = \frac{K_{11} [\text{M}_1^0] [\text{M}_1] + K_{21} [\text{M}_2^0] [\text{M}_1]}{K_{22} [\text{M}_2^0] [\text{M}_2] + K_{12} [\text{M}_1^0] [\text{M}_2]} \quad (8)$$

Substituyendo (5) en (8) :

$$\frac{d[\text{M}_1]}{d[\text{M}_2]} = \frac{[\text{M}_1]}{[\text{M}_2]} = \frac{\frac{K_{11} [\text{M}_1]}{K_{21} [\text{M}_2]} + \frac{K_{21} [\text{M}_2]}{K_{11} [\text{M}_1]}}{\frac{K_{22} [\text{M}_2]}{K_{12} [\text{M}_1]} + \frac{K_{12} [\text{M}_1]}{K_{22} [\text{M}_2]}} + K_{12} \quad (9)$$

Se definen las razones de reactividad :

$$r_1 = \frac{K_{11}}{K_{21}} \quad ; \quad r_2 = \frac{K_{22}}{K_{12}}$$

Multiplicando y dividiendo (9) por $\frac{[\text{M}_1]}{K_{12}}$ y sustituyendo las razones de reactividad en (9) :

$$\frac{d[\text{M}_1]}{d[\text{M}_2]} = \frac{[\text{M}_1]}{[\text{M}_2]} = \frac{r_1 [\text{M}_1] + [\text{M}_2]}{r_2 [\text{M}_2] + [\text{M}_1]} \quad (10)$$

La ecuación (10) es la ecuación normal de copolimerización, donde $d[\text{M}_1]$ y $d[\text{M}_2]$ son las concentraciones de los monómeros en el polímero formado y $[\text{M}_1]$ y $[\text{M}_2]$ son las concentraciones de los

sondores en la alimentación.

Las composiciones instantáneas de cada sondor en el copolímero son:

$$w_1 = \frac{d[M_1]}{d[M_1] + d[M_2]} \quad (11)$$

$$w_2 = \frac{d[M_2]}{d[M_1] + d[M_2]} \quad (12)$$

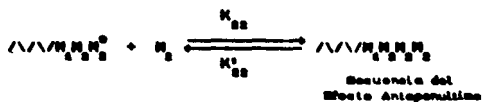
Substituyendo (10) en (12) y rearrreglando se obtiene:

$$w_2 = \frac{r_2(M_2)^2 + (M_1)(M_2)}{r_1(M_1)^2 + 2(M_1)(M_2) + r_2(M_2)^2} \quad (13)$$

Esta ecuación describe el comportamiento de sistemas de copolimerización a temperaturas inferiores a la temperatura teórica de cualquiera de los sondores que intervengan en el sistema. Sin embargo, no describe a aquellos sistemas que presentan reversibilidad (depolymerización).

Efecto Antipenditino.

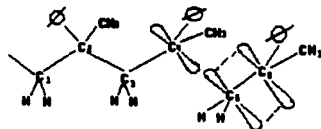
El efecto antipenditino se da durante la copolimerización de un sondor normal M_1 con un sondor etílico 1-1 disubstituido M_2 y consiste en que al formarse una secuencia de tres o más unidades de M_2 , la penúltima origina la depolimerización de la última:



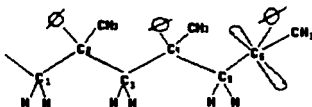
La causa por la que en sondores como el α -estilestireno existe la tendencia a la depolimerización se debe, a un efecto estérico

(12). Este es, aunque el α -metilestireno reacciona con su propio radical, el enlace formado es débil debido a las tensiones existentes en la molécula y, por tanto, la reversibilidad se ve favorecida a altas temperaturas.

Lo que sucede durante la copolimerización del α -metilestireno se muestra en la figura (12) :



Ataque de un radical



Producto

Cuando se forma el nuevo enlace σ entre los carbonos 4 y 5, el carbono 4 sufre un cambio de configuración, de configuración coplanar plana sp^2 a la configuración tetrahédrica sp^3 . En esta situación, los substituyentes del carbono 4 están impedidos fuertemente por su proximidad con los substituyentes del carbono 2. Esto provoca que el nuevo enlace esté sometido a fuertes tensiones y por tanto, es posible su ruptura fácilmente a temperaturas elevadas.

Ecuación de Copolimerización con Efecto Antependitivo.

En 1968 Lowry planteó por primera vez una ecuación de copolimerización diferente a la normal que incluye el efecto antependitivo (IE), es decir, esta ecuación incluye a la constante de equilibrio de propagación-depropagación para monómeros del tipo del *m*-estilestireno:

Lowry encontró la siguiente ecuación de copolimerización:

$$Y_1 = \frac{m_1 - 1 + \left[\frac{1}{(1-\beta)^2} \right]}{\left[\frac{r_1 [M_1]^2}{r_2} + 1 \right] \left[m_1 + \frac{\beta}{1-\beta} \right] + m_1 - 1 + \frac{1}{(1-\beta)^2}}$$

Donde :

$$\gamma = \frac{\frac{\rho[M_1]}{r_1} + \rho[M_2] - \beta}{\rho[M_2]}$$

$$\beta = \frac{\delta - (\delta^2 - 4\rho[M_2])^{1/2}}{2}$$

$$\delta = 1 + \rho[M_2] + \frac{\rho[M_1]}{r_1}$$

$$\rho = \left(\frac{K_{P_{SS}}}{K_{P_{AS}}} \right)$$

Una vez definidos los parámetros γ, β, ρ y δ se puede ver con

facilidad que las variables principales de la ecuación de copolimerización con efecto antipendítico son :

- La constante de equilibrio de propagación - depropagación del α -metilstireno.
- La concentración de cadenas con terminación en α -metilstireno.
- La razón de reactividad de cada sondero.
- La concentración de cada sondero en la alimentación.

Determinación de las Razones de Reactividad en la Polimerización normal y en la Polimerización con Efecto Antipendítico.

Las razones de reactividad para M_1 y M_2 se definen como:

$$r_1 = \frac{K_{M1}}{K_{S1}}; \quad r_2 = \frac{K_{M2}}{K_{S2}}$$

Estos parámetros indican la tendencia de dos sondores a copolimerizar si r_1 y r_2 están comprendidas entre cero y uno. Un valor de r_1 menor a la unidad, implica que un radical M_1^{\bullet} adicionará preferentemente al sondero M_2 . Un valor de r de cero significaría que dicho sondero es incapaz de formar el heteropolímero.

Los métodos para evaluar r_1 y r_2 involucran la determinación experimental de la composición del copolímero para diferentes composiciones en la alimentación.

Un método para determinar razones de reactividad consiste en

graficar la composición instantánea del copolímero vs la composición de la alimentación y después determinar qué curva teórica se ajusta mejor seleccionando por prueba y error a r_A y a r_B .

El método de Chauvetier consiste en rearrreglar la ecuación (10) de la siguiente manera :

$$r_A = \frac{M_A}{M_B} \left[- \frac{d(M_A)}{dM_A} \left(1 + \frac{r_B M_A}{M_B} \right) - 1 \right]$$

Los datos de composición de alimentación y composición del copolímero se substituyen en la ecuación anterior para cada experimento y se grafica r_A como una función de varios valores de r_A . Cada experimento da origen a una línea recta, y la intersección de todas las rectas para diferentes composiciones de alimentación indica los mejores valores para r_A y r_B (ref.).

El método de Fineman-Ross consiste en expresar la ecuación de copolimerización neta en función de las fracciones molares de los monómeros en la alimentación (F_A y F_B) y de las fracciones molares en el copolímero (F_A y F_B) como :

$$F_A = \frac{r_A F_A^2 + r_B}{r_A F_A^2 + 2r_A F_B + r_B F_B^2}$$

Rearreglando la ecuación anterior :

$$\frac{F_A (1 - BF_A)}{F_A (1 - F_A)} = r_B + \left[\frac{F_A^2 (F_A - 1)}{F_A (61 - F_A)^2} \right] r_A$$

El lado izquierdo de la ecuación se grafica contra el coeficiente de r_A para obtener así una línea recta con pendiente r_A y ordenada al origen r_B .

Sin embargo, los métodos anteriores no son aplicables para este

caso ya que no consideran la parte reversible de la reacción en la propagación del α -mestilestireno.

O'Driscoll y Gasparre (18), estimaron los valores de β y γ . Para ello, sintetizaron diversos copolímeros en casa y obtuvieron r_1 usando la ecuación normal de copolimerización en muestras con muy escas proporción de α -mestilestireno. En cambio, r_2 fue obtenida mediante una estimación teórica de los cambios energéticos durante la destrucción y formación de enlaces (teoría de orbitales moleculares).

Disponiendo de datos de composición instantánea de copolímero en función del tiempo a distintas temperaturas, se logró evaluar la magnitud de la constante de equilibrio en función de la temperatura.

T° C	r_1	r_2	K
0	1.3	0.3	1.32
60	1.3	0.3	0.095
100	1.3	0.3	0.015

M_1 : estireno

M_2 : α -mestilestireno (ref).

K : mol/l

Polymerización en Emulsión con EAP.

Las expresiones de velocidad de reacción para la copolimerización en emulsión con efecto antependulino son semejantes a las de la polymerización normal en emulsión y sólo basta incluir un término de depropagación en la ecuación de velocidad del α -mestilestireno para tener en cuenta el efecto antependulino, cosa se hace a continuación :

Para el estireno :

$$r_1 = [M_1] \frac{dx_1}{dt} = \frac{K_{111}[M_1]^3 p \bar{n}_1 N_p}{R_A} + \frac{K_{112}[M_1]^2 p \bar{n}_1 N_p}{R_A}$$

Para el α -metilestireno :

$$r_2 = [M_2] \frac{dx_2}{dt} = \frac{K_{221}[M_2]^3 p \bar{n}_2 N_p}{R_A} + \frac{K_{222}[M_2]^2 p \bar{n}_2 N_p}{R_A} - \frac{K'_{222}[M_2] \bar{n}'_2 N_p}{R_A}$$

donde \bar{n}'_2 es el número promedio de radicales por partícula con una secuencia terminal de tres o más α -metilestireno y K'_{222} es la constante de depolimerización del α -metilestireno. Todas las cantidades se calculan como se explicó en la copolimerización en emulsión y \bar{n}'_2 se calcula mediante (24.) :

$$\bar{n}'_2 = \frac{\rho \bar{n}_2}{\beta y (1-\beta) + 1}$$

CAPITULO II

TECNICAS EXPERIMENTALES

Técnicas Experimentales

Componentes de la Polimerización en Emulsión.-

Mondáeres.-

Los monómeros que se usaron en las reacciones de polimerización fueron los siguientes :

- Estireno : PEMEX 99% de pureza.

- α -Metilestireno : Allied Fibers, 98% de pureza.

Después de ser purificados, mediante destilación a vacío, los monómeros se conservaron en frascos color ámbar bajo refrigeración. La siguiente tabla muestra algunas constantes importantes de estos monómeros :

	Estireno	α -Metilestireno
Fórmula	$\begin{array}{c} \text{CH}_2\text{CH}_2 \\ \\ \text{C}_6\text{H}_5 \end{array}$	$\begin{array}{c} \text{CH}_3 \\ \\ \text{CH}_2\text{CH}_2 \\ \\ \text{C}_6\text{H}_5 \end{array}$
Peso Molecular (g/mol)	104.14	118.18
Densidad a 20 °C	0.903	0.9106
Punto de Ebullición (°C)	145.20	165.0
Punto de fusión (°C)	-50.00	-23.20
Solubilidad en agua a 25 °C	0.096	0.0566

	Estireno	α -MetylEstireno
Relaciones de reactividad 1.3		0.9
Densidad del polímero a 20 °C	1.05	1.08
Temp. Transición vitrea (°C)	101.0	170.0
Temp. Techo (°C)	310.0	61.0

Iniciadores.-

El iniciador que se utilizó para todas las síntesis fue un iniciador del tipo ródex.

- Persulfato de Potasio : Productos Químicos Monterrey

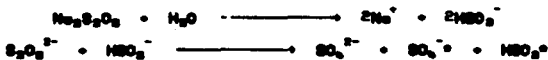
No. 5384

99.5% de pureza

- Metabisulfito de Sodio : Productos Químicos Monterrey

No. 3890

El equilibrio de disociación que se ha propuesto para este par ródex es el siguiente (ref.) :



Emulsificante.-

Se utilizó como agente tensioactivo el dodecilo sulfato de sodio ($\text{CH}_3(\text{CH}_2)_{10}-\text{OSO}_3-\text{Na}^-$) :

- Lauril Sulfate de Sodio : Sigma Chemical Co.

No. L-5750

95% de pureza.

csc : 2.25 g/l

Electrolito.-

Carbonato de Sodio : Técnica Química

No. C-1060

99% de pureza.

Reactor por lotes.

Las síntesis se realizaron en un reactor por lotes de vidrio de un litro de capacidad.

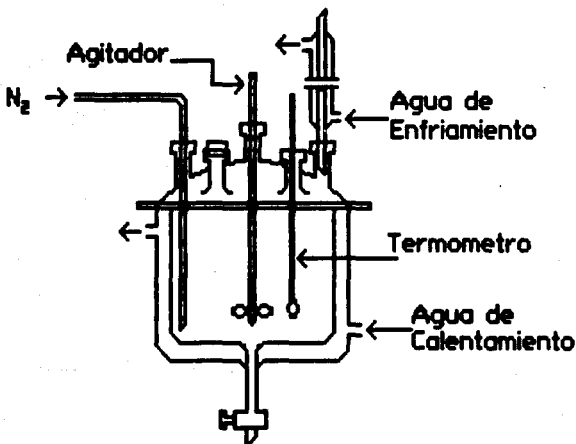
El reactor es enchaquetado y está provisto de mamparas en su interior. La temperatura de la chaqueta se mantiene constante mediante un baño de agua caliente que a su vez está provisto de un termostato.

La tapa del reactor tiene cinco bequillas, una de ellas permite la entrada de la línea de Nitrógeno, que es burbujeado en el fondo del reactor gracias a una extensión de vidrio. Otra de las bequillas permite el acoplamiento del refrigerante, con éste se

asegura la condensación del vapor que alcance a vaporizar.

La tercera boquilla permite ya sea el uso de un termómetro para poner en contacto al termómetro con la mezcla reaccionante, ó para usar directamente un termómetro. La cuarta boquilla se cierra con un tapón de vidrio esterilizado. Por último, la quinta boquilla, que es la central, permite la entrada de la flecha del agitador cerca Cafrasco, que para todas las reacciones se accionó a 350 rpm con impulsor de aspas.

En la figura 1.1 se muestra un esquema general del sistema de reacción.



Esquema General del Reactor por Lotes
fig. 1.1

Técnicas de Caracterización.

Purificación de monómeros.-

Tanto el estireno como el α -metilestireno fueron purificados en un aparato de destilación de vidrio al vacío, almacenados en frascos color ámbar y conservados en refrigeración poco tiempo antes de utilizarse como componentes de la polimerización.

Purificación de polímeros.-

Los polímeros se separan de la emulsión precipitándolos con metanol, ligeramente acidulado con ácido clorhídrico y filtrados al vacío. Se disuelve el polímero obtenido en cloroformo y se precipita nuevamente con metanol acidulado, se filtra al vacío y el polímero resultante se seca en la estufa a 60 °C durante por lo menos seis horas.

Análisis Gravimétrico.-

Esta técnica permite determinar la conversión. Para ello, se coloca una pequeña cantidad de latex en una charola de aluminio previamente pesada en una balanza analítica y se pesa con la muestra de latex, ésta, se pone a secar en la estufa durante seis horas a 65 °C. La charola con el polímero

seco se pesa de nuevo en la balanza analítica. La diferencia de pesos entre la muestra húmeda y la muestra seca juntas con la porción de sólidos permite calcular la conversión mediante :

$$X = \frac{S - Ch}{\%_s (H - Ch)}$$

Donde : X es la conversión

S es el peso de la charola con muestra seca

Ch es el peso de la charola vacía

%s es el porciento en sólidos de la formulación

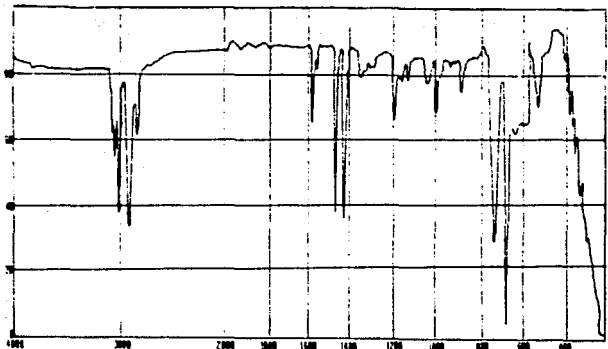
H es el peso de la charola con la muestra de latex

Especroscopia de Infrarrojo.-

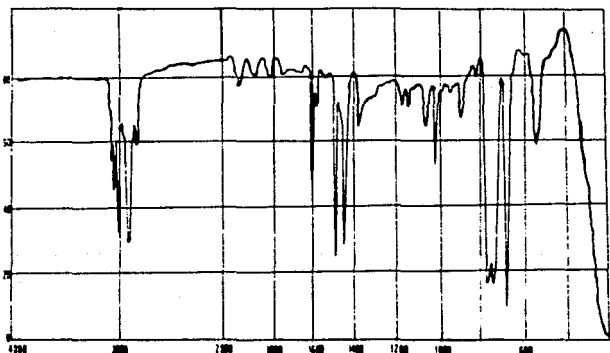
Una molécula orgánica absorbe radiación infrarroja y la convierte en energía de rotación molecular y en energía de vibración molecular, esta absorción puede ser cuantificada y obtenerse así un espectro.

Esta técnica permite conocer la estructura química de una molécula igualando su espectro en contra del correspondiente de una molécula de estructura conocida, y correlacionando pico a pico.

En este trabajo, se utilizarán los espectros de infrarrojo para identificar cualitativamente los productos de la síntesis. El poliestireno-*m*-estilestireno) se identificará por comparación de su espectro con el del poliestireno. A continuación se muestra un espectro de cada uno.



Espectro de Infrarrojo del Polietileno



Espectro de Infrarrojo del copolímero S/etS.

Espectroscopia de Resonancia Magnética Nuclear.-

La espectroscopia de resonancia magnética nuclear representa otra forma de espectrometría de absorción, dicha absorción es función de ciertos núcleos de la molécula.

En este trabajo, los espectros de RMN H¹ se utilizarán para tanto la identificación de productos cose para conocer su composición. Los espectros fueron obtenidos en un aparato Varian (modelo EM 390) de 90 MHz de frecuencia y las muestras se disolvieron en cloruro de deuterio.

El contenido de estireno se determina mediante (18) :

$$Y_1 = \frac{[(B + C) - (2A / 3)]}{[(B + C) + (A / 3)]}$$

A es el área de la señal correspondiente a los hidrógenos de CH₃

B es el Área de la señal correspondiente a los hidrógenos de CH₂

C es el Área de la señal correspondiente a los hidrógenos a

En la figura 2.3a se muestra un espectro de RMN H¹ del poliestireno-a-metilestireno) y en la 2.3b uno correspondiente al poliestireno, nótense la ausencia en este último de la señal de la extrema derecha (zona A).

Dispersión de Luz.-

Para las mediciones de diámetro de partícula se utilizó un aparato Coulter (modelo M4) y con un Ángulo

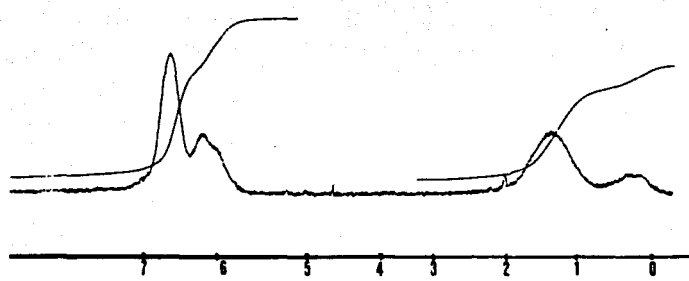


Figura 2.9a : Espectro de RHN obtenido de un copolímero S/ataS con 80% de S.

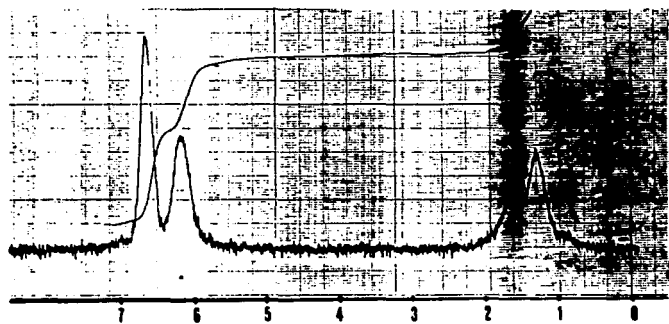


Figura 2.9b : Espectro de RHN obtenido de poliestireno.

de dispersión de rayo láser de 90°. Esta técnica está basada en la determinación del coeficiente de difusividad mediante dispersión de luz dinámica y utiliza la teoría del movimiento browniano para relacionar este coeficiente con el diámetro de la partícula.

El movimiento Browniano es el resultado de la agitación térmica y del choque aleatorio de las partículas en solución con las moléculas del solvente. Esto resulta en un movimiento vibratorio que provoca que las partículas suspendidas se difundan a través de la solución. Para una solución a temperatura constante (T) y de una viscosidad conocida (η), el coeficiente de difusión (D) es inversamente proporcional al diámetro de la partícula de acuerdo con la ecuación de Stokes-Einstein :

$$D = \frac{KT}{3\eta dp}$$

$K = 1.38 \times 10^{-16} \text{ erg/K}$
 $dp = \text{diámetro partícula}$

En el cálculo del número de partículas se usaron los diámetros secos. Para ello, se pone una gota de latex en un tubo de ensayo con agua desionizada y se coloca en la estufa durante ocho horas a 60 °C. Con esto, se trata de eliminar la mayor cantidad posible de glicerina que está hinchando a las partículas de polímero.

La muestra se coloca en una celda de policarbonato y se introduce en el Coulter para así obtener las lecturas de diámetro de partícula.

El número de partículas se calcula a partir de :

$$N_p = \left[\frac{6 M_0}{\pi \rho p} \right] \left[\frac{x}{d_p^3} \right]$$

M_0 : razón inicial de polímero/agua

ρp : densidad de polímero

x : conversión

d_p : diámetro seco de partícula

N_p : número de partículas

Calorimetria Diferencial de Exploración.-

Las temperaturas a las que ocurren las transiciones físicas son importantes, en calorimetria se pueden observar algunos cambios sutiles de la estructura cuando la muestra de polímero se compara con otro material que está sometido a un proceso de calentamiento, pero que no sufre ninguna transición.

En DSC, se usa un sistema mecánico para proporcionar energía con una rapidez variable tanto a la muestra como a la referencia y así mantener sus temperaturas iguales. En un termograma se representa la variación de la energía que se proporciona contra la temperatura media. La temperatura de transición vítrea se da cuando comienza el movimiento de los segmentos del polímero.

La figura 2.4 consiste en un ejemplo de los termogramas obtenidos.

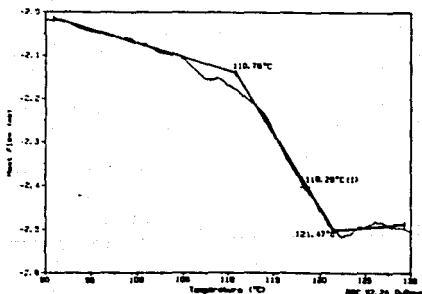
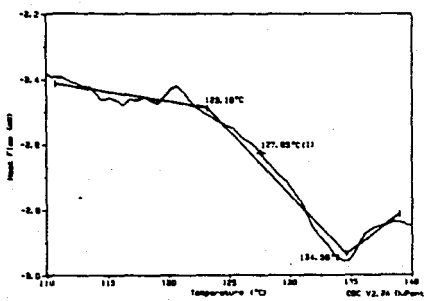


Figure 2.4

Cromatografía por Percepción en Gel.-

La cromatografía por percepción en gel es una de las mejores métodos disponibles para la evaluación rápida de las distribuciones de pesos moleculares (10). Esta técnica es un método fraccionario en el que se logra una separación gracias a un tamaño molecular que hace un material heterogéneo que tiene una distribución de tamaños de peso que abarca la mayoría de los tamaños de las moléculas poliméricas.

Cuando se inyecta la muestra, el polímero pasa a través de las columnas, las moléculas más pequeñas son capaces de penetrar en el gel, pero conforme aumenta el peso molecular, el número de poros en los que el polímero puede penetrar disminuye y las moléculas pasan por la columna más rápido. De esta manera, las moléculas se eluyen inversamente, es decir, las moléculas de mayor peso molecular se eluyen primera y las de más bajo peso molecular eluyen al final.

CAPITULO III

DESEARROLLO EXPERIMENTAL

Desarrollo Experimental.

Síntesis.

Las síntesis se llevaron a cabo en un reactor de vidrio por lotes y se estudió la variación de los siguientes parámetros experimentales :

- 1.- Temperatura.
- 2.- Proporción de emulsificante.
- 3.- Porcentaje de sólidos.
- 4.- Variación en la composición de alimentación.

La tabla 3.1. muestra, en forma resumida, las corridas experimentales.

Como se puede observar en las corridas 2,3,4 y 5 se estudió el efecto de la variación de la temperatura en la síntesis desde 40 °C hasta 60 °C, en las corridas 2,6 y 7 se estudió el efecto de la variación de la proporción del emulsificante desde 2.5 g hasta 7.5 g por litro de reacción, en las corridas 2 y 8 se estudió el efecto de la variación del porcentaje de sólidos, 10% y 20% de tasa de sólidos . La corrida 1 (24) es la homopolimerización de estireno y tiene como objetivo el de utilizarla como referencia para demostrar la existencia del copolímero , mientras que en las corridas 1,2,10 y 11 se estudió el efecto de la variación de la composición en la alimentación (24) y, finalmente, en la corrida 9 se modificó tanto el porcentaje de sólidos como la proporción de emulsificante.

Copolimerización de Estireno y Alfa-Metilestireno

Cortado	1	2	3	4	5	6	7	8	9	10	11	12
S (g)	120	122.5	122.5	122.5	122.5	122.5	122.5	122.5	122.5	120	117.5	75
ΔS (g)	0	27.5	27.5	27.5	27.5	27.5	27.5	27.5	27.5	15	22.5	75
MW (g)	0.45	0.45	0.45	0.45	0.45	0.45	0.45	0.45	0.45	0.45	0.45	0.45
M _w (g)	0.45	0.45	0.45	0.45	0.45	0.45	0.45	0.45	0.45	0.45	0.45	0.45
M _n (g)	2.5	2.5	2.5	2.5	2.5	2.5	2.5	2.5	2.5	2.5	2.5	2.5
η (g)	600	600	600	600	600	600	600	600	600	600	600	600
Cortadura (g)	2	3	3	3	3	3	3	3	3	2	2	2
Tmp (°C)	50	50	50	40	50	50	50	50	50	50	50	50

Tabla 3.1

Caracterización.

En todas las corridas se efectuó un muestreo continuo a lo largo de la reacción, cada 10 minutos la primera media hora y cada quince minutos hasta completar las 5 horas de reacción, para poder determinar el comportamiento cinético y efectuar la caracterización de los productos. Se realizaron las siguientes pruebas de caracterización:

- 1.- Espectroscopía de Infrarrojo.
- 2.- Espectroscopía de resonancia magnética nuclear de protón.
- 3.- Calorimetría diferencial de exploración.
- 4.- Dispersion de luz.
- 5.- Gravimetría.
- 6.- Cromatografía por Perseación en Gel.

Espectroscopía de Infrarrojo

Por medio de esta técnica se identificaron los productos obtenidos y por contraste con el espectro del poliestireno se desmuestra cualitativamente la existencia del copolímero de α -metilstireno.

Una de las principales diferencias está en la zona de $1400-1500\text{ cm}^{-1}$, donde para el caso de los copolímeros se observan tres señales y solamente dos para el poliestireno. El grupo metilo tiene su señal característica en los 2900 cm^{-1} , la cual en los espectros de los copolímeros no se alcanza a ver debido a que se

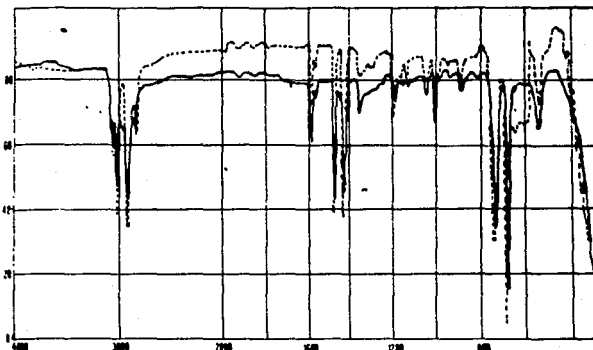


Figura 3.1a : Espectro de IR de poliestireno (- -) y del copolímero S/MS (- -), 80% S. (corrida 3).

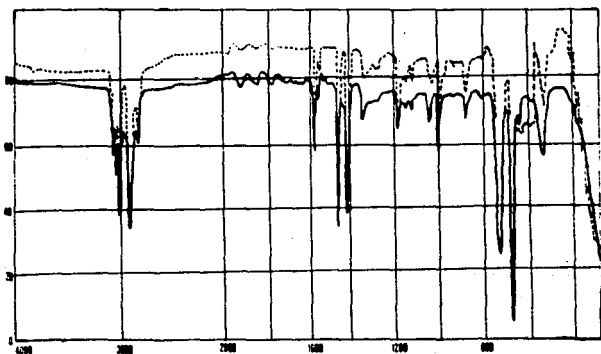


Figura 3.1b : Espectro de IR de poliestireno (- -) y del copolímero S/MS (- -), 80% S. (corrida 5).

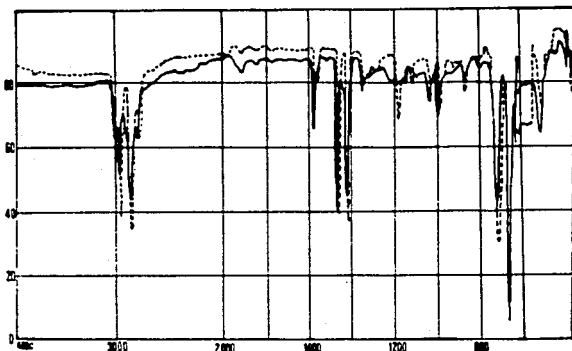


Figura 3.1c : Espectro de IR de poliestireno (—) y del copolímero S/MS (---, 50% S. (corrido 63).

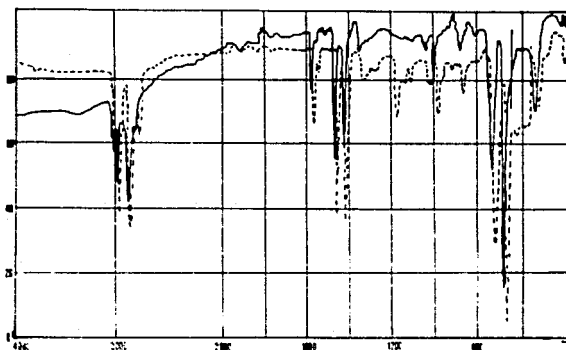


Figura 3.1d : Espectro de IR de poliestireno (—) y del copolímero S/MS (---, 50% S. (corrido 73).

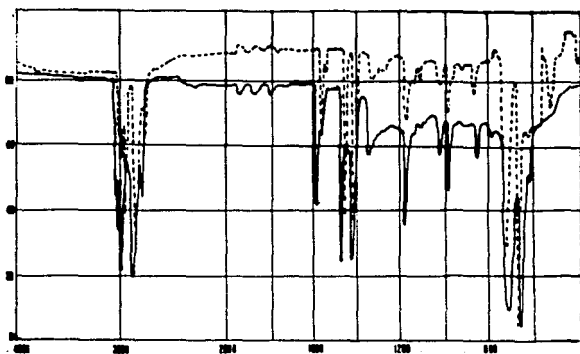


Figura 3.1e : Espectro de IR de poliestireno (- -) y del copolímero S/mPS (- -), 0,77% S. (corrida 6).

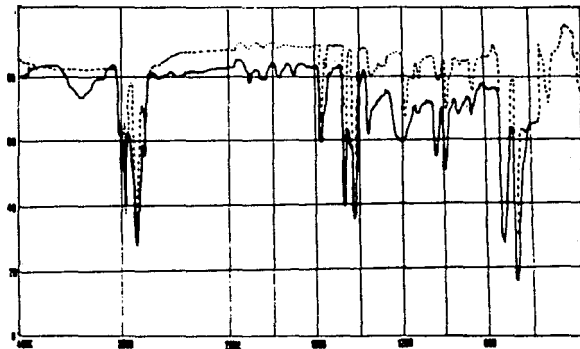


Figura 3.1f : Espectro de IR de poliestireno (- -) y del copolímero S/mPS (- -), 0,87% S. (corrida 6).

traslape con otras señales de enlaces de la cadena polimérica. En los 930 cm^{-1} , en el espectro del poliestireno se tiene una señal y para los copolímeros se tienen dos. En la figura 3.1 se muestran los espectros superpuestos del poliestireno (línea punteada) y la de los copolímeros (línea continua), en donde se aprecian las diferencias mencionadas.

Espectroscopía de Raman ^2H

Esta técnica permite confirmar la formación de los copolímeros pero además permite calcular cuantitativamente la composición de éstos.

La señal característica de los grupos estilo (zona A) está totalmente ausente en el espectro del poliestireno, mientras que en los espectros de los copolímeros es muy clara. Con lo anterior se confirma la formación del copolímero. En la figura 3.2 se muestran los espectros obtenidos del poliestireno y de los copolímeros. La composición máxima obtenida de α -metilestireno en el copolímero fue de 36% en la corrida 9.

DSC.

Estas pruebas se corrieron a una velocidad de calentamiento de $10^\circ\text{C} / \text{min}$ desde 40°C hasta 190°C a panel abierto con flujo de N_2 .

Con esta técnica se evaluó la temperatura de transición vitrea, con la cual se confirma, por medio de propiedades físicas, la incorporación del α -metilestireno al copolímero. Debido a que la

mayor parte de los copolímeros sintetizados tienen alrededor de 80% de estireno en su composición, se obtuvieron temperaturas de transición vítrea alrededor de 112°C (figura 3.3a), que correlacionaron con el modelo de Fox, excepto en la última corrida que tiene 30% de α -metilstireno en la alimentación y que el copolímero obtenido tiene alrededor de 36% de α -metilstireno y, por tanto, su T_g se ve incrementada hasta los 123°C (figura 3.3b).



Figura 2.28 : Ejemplo de BBR obtenido de un pozo de suelo.

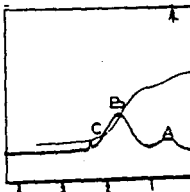


Figura 2.29 : Ejemplo de BBR obtenido de un perfil suelo.

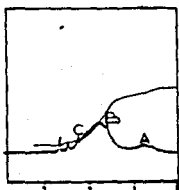


Figura 2.30 : Ejemplo de BBR obtenido de un perfil suelo.

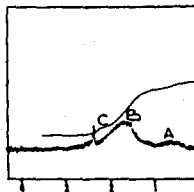


Figura 2.31 : Ejemplo de BBR obtenido de un perfil suelo.

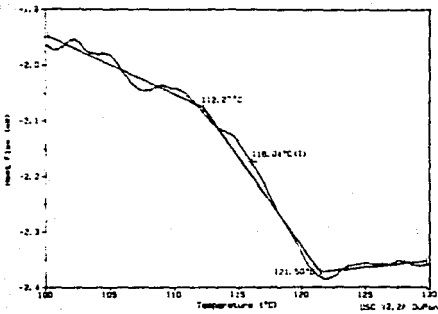


Figura 3.3a : Tercograma obtenido de un co-polímero GMAc con DTA de cálculo. $T_{d5} = 116.3^{\circ}\text{C}$.

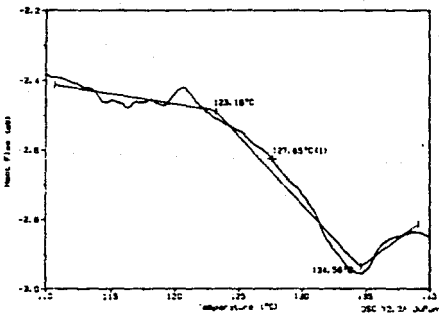


Figura 3.3b : Tercograma obtenido de un copolímero GMAc con DTA de cálculo. $T_{d5} = 125.0^{\circ}\text{C}$.

Corrido 2

Condiciones :

Alimentación : 75/25 (g/gM)

Temperatura : 55°C

% sólidos : 20%

Emulsificante : 2.5 gr.

Se muestra en la figura 3.4a de conversión básica contra tiempo los valores de conversión determinados por gravimetría y, simultáneamente, los determinados mediante el modelo de simulación. Existe una aceptable concordancia excepto al final de la reacción, esto se explica por el problema de estabilidad de la emulsión, físicamente este fenómeno se manifiesta por la aparición de filamentos de polímero hinchado por sondaje.

Las curvas de comportamiento de número de partículas no reflejan este fenómeno, de hecho, el diámetro peso de las partículas que permanecen en la emulsión parece no ser afectado y crece constantemente conforme avanza reacción. La composición del copolímero final determinada mediante IR en % es de 79% en mol de estireno y se determinó una temperatura de transición vitrea experimental de 113.19 °C, que es muy cercana a la predicha por el modelo de Fox de 112.65 °C y 13 °C mayor que la del poliestireno.

Este corrido es el punto de partida y referencia, para variar algunos parámetros de reacción y así tratar de mejorar los rendimientos, tanto en conversión total como en la incorporación del *m*-estilestireno al copolímero final.

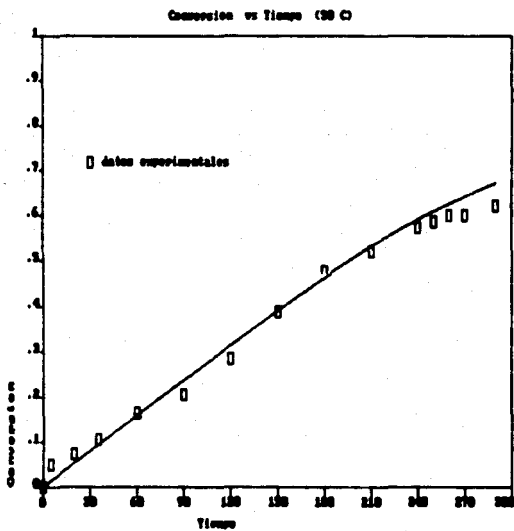


Figura 3.4a : Conversión en función del tiempo
Síntesis : $T = 80^{\circ}\text{C}$ (corrida 2).

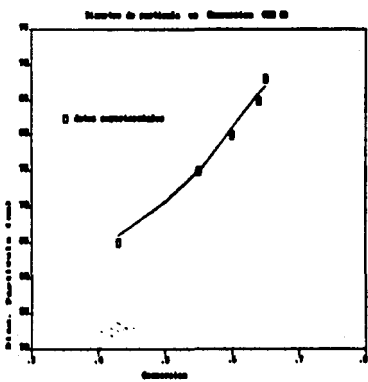


Figura 9.4b : Evolución del diámetro de partícula
SACR : T= 60°C (curva 2).

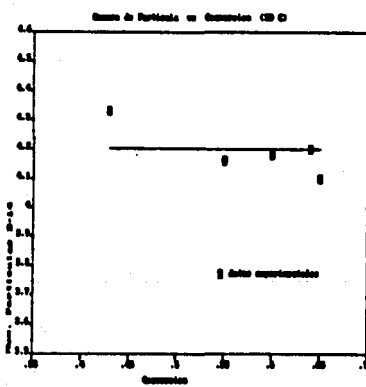


Figura 9.4c : Evolución del número de partícula
SACR : T= 60°C (curva 3).

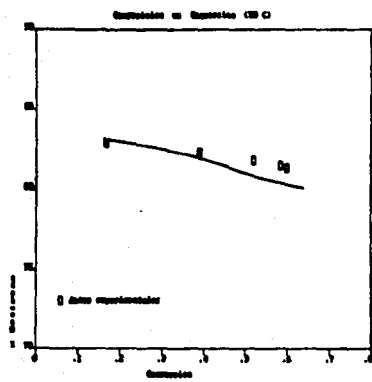


Figura 3.44 : Evolución de la conversión en función de la conversión ; SBR/M ; $T = 80^\circ\text{C}$ (corriente 2).

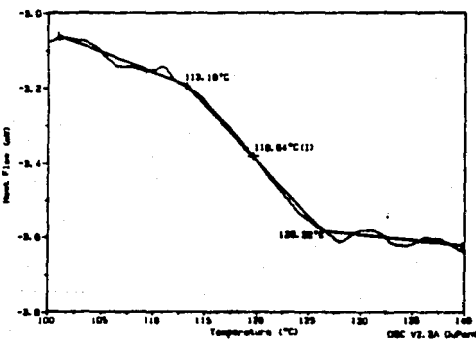


Figura 3.45 : Termograma del copolímero final S.
SBR/M ; $T = 80^\circ\text{C}$ (corriente 2).

Corrida 3

Condiciones :

Alistación : 75/25 (S/CHCl₃)

Temperatura : 60 °C

% sólidos : 20%

Emulsificante : 2.5 gr

En esta reacción se observó una mayor velocidad de reacción debido al incremento en los valores de las constantes cinéticas de polymerización, por tanto, se tuvo un mayor consumo de condensador residual por lo que la estabilidad de la emulsión fue mayor que en la corrida 2. No se observó efecto vitreo y la terminación de la reacción se atribuye a la baja reactividad del α-metilstireno.

Para ejemplificar el aumento en las constantes cinéticas de polymerización la ecuación para calcular la constante de propagación del estireno es:

$$\ln K_{P_{AA}} = 2991.1676 \cdot 1/T + 29.9919$$

a 20°C . $K_{P_{AA}}=124.979$ lit/mol seg y a 60 °C $K_{P_{AA}}=163.004$ lit/molseg, se toma como referencia al estireno por ser el más reactivo de los dos condensadores.

Se nota un crecimiento constante del diámetro seco de partícula debido a la persistencia de la reacción a diferencia del diámetro hidroscópico que al llegar al intervalo III, deja de crecer y se mantiene constante hasta el final de la reacción. El número de partículas se mantiene constante, esto se debe a que tiene lugar el mecanismo de

nucleación micelar. La medición de los diámetros de partícula se mejoró con respecto a trabajos anteriores (24). Esta mejoría se dio sobre todo en la operación del equipo.

La composición final del copolímero es muy parecida a la obtenida en la corrida 2. La evolución de la composición en el tiempo es muy regular ya que la velocidad de adición de estireno es también muy regular y sólo se notan irregularidades cuando hay un exceso de α -estilestireno en el sistema.

Se probó con GPC obtener los pesos moleculares, en los cuales se encontró un error medio de 18.2%, el cual se atribuye a error en la técnica ya que se observan tendencias que no son posibles en la polimerización de adición.

Las temperaturas de transición vitrea coinciden con las previstas por el modelo de Fox (24) y se nota un incremento de alrededor de 14°C con respecto al poliestireno, lo anterior constituye un argumento para considerar que la incorporación del α -estilestireno es efectiva al copolímero.

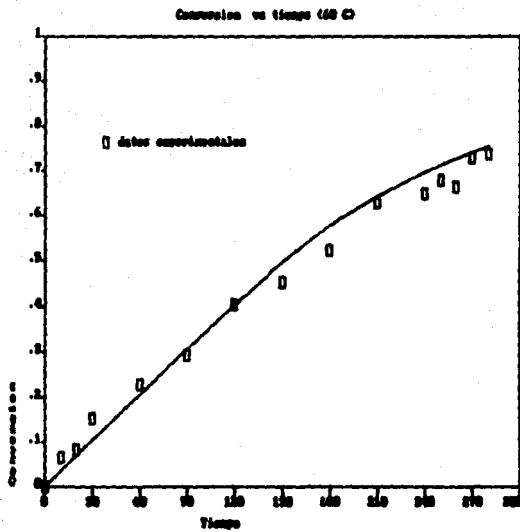


Figura 9.5a : Conversión en función del tiempo.

SérieS : T= 80°C (corrida 3).

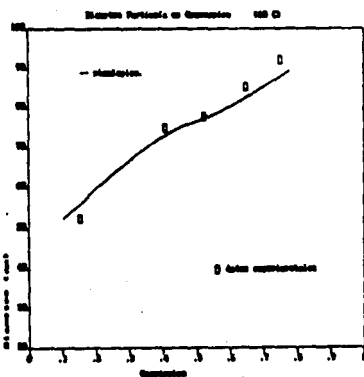


Figura 3.8a : Evolución del diámetro de partícula.
S-008 : T= 80°C (curva 3).

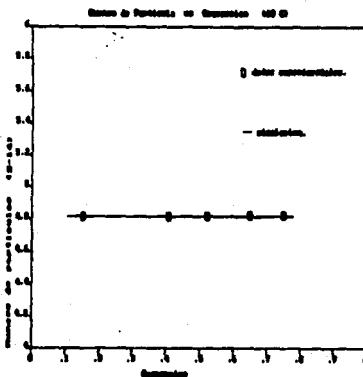


Figura 3.8b : Evolución del número de partículas.
S-008 : T= 80°C (curva 3).

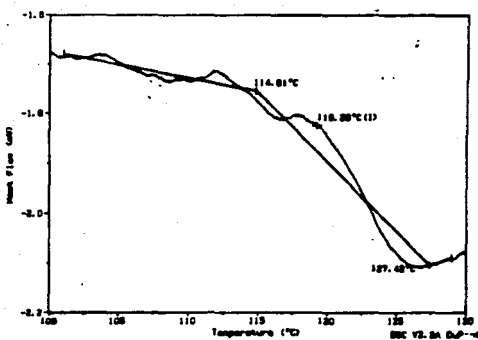


Figura 3.64 : Termograma del capilarero /film 800 S.
SistM : T= 60°C Corriente 20.

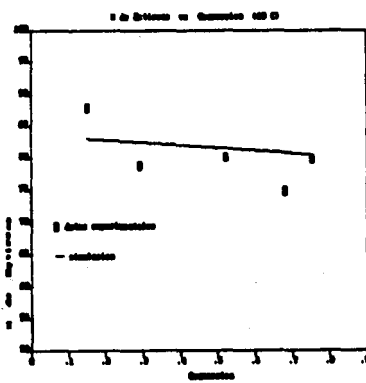


Figura 3.65 : Evolucion de la composicion en función de la
conversion : SistM : T= 60°C Corriente 20.

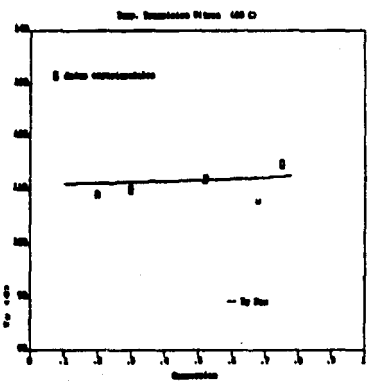


Figura 2.8f : Evolution de la temperatura de transición
íntimo en función de conversión : S/SMC ; $T=60^\circ\text{C}$ (corriente 3).

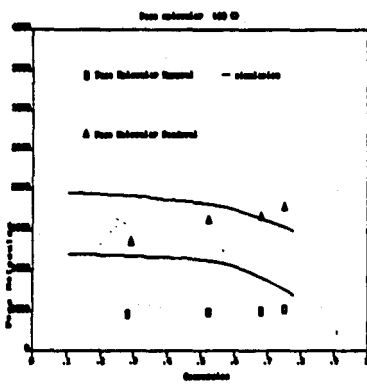


Figura 2.8g : Evolución de los pesos moleculares.
S/SMC ; $T=60^\circ\text{C}$ (corriente 3).

Carrera 4

Condiciones :

Alimentación : 75/25 (S/nH₂)

Temperatura : 40 °C

% sólidos : 20%

Emulsificante : 2.5 gr.

En esta carrera se observó una muy baja velocidad de reacción, lo que provoca que en el sistema permanezcan durante largos períodos de tiempo una gran cantidad de condensado residual y, por tanto, la emulsión fue muy inestable, además que la conversión alcanzada después de 5 horas de reacción fue de tan sólo 9%.

La disminución en la velocidad de reacción se debe a la disminución de las constantes cinéticas de polimerización, que para el estireno a 40°C tiene un valor de 92.545 lit/moleseg. Debido a la conversión tan baja, esta carrera no fue posible caracterizarla.

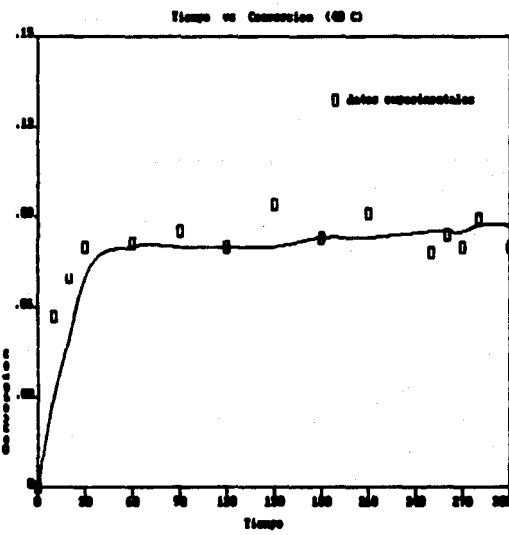


Figura 9.6a : Conversión en función del tiempo.
S/mS : T= 40°C (corrida 4).

Corrida 8

Condiciones :

Alimentación : 75/25 (g/gM)

Temperatura : 35 °C

% sólidos : 20%

Emulsificante : 2.5 gr.

A pesar que la velocidad de reacción es ligeramente mayor ($K_{P_{11}} = 143.276 \text{ lit/molseg}$) que a 30°C no fue suficiente para estabilizar a la emulsión.

El diámetro de partículas aumenta constantemente y se ajusta al comportamiento esperado para un sistema con un número de partículas constante.

La evolución de la composición del copolímero es una deriva gradual y constante que coincide con los datos de resonancia magnética nuclear obteniéndose un copolímero con 81.00% de estireno y se determinó una temperatura de transición vitrea de 118.37 °C, es decir, 18 °C mayor a la del poliestireno. Las pesos moleculares obtenidas por GPC son extraordinariamente bajos.

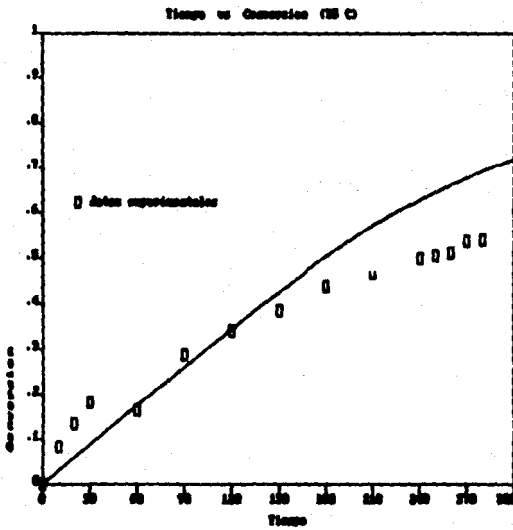


Figura 9.7a : Conversión en función del tiempo.
Sistema : $T = 50^{\circ}\text{C}$ (corriente B).

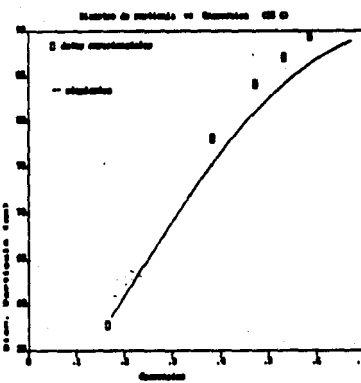


Figura 3.7b : Evolución del diámetro de partícula.
SistM : $T = 80^{\circ}\text{C}$ (caída 6).

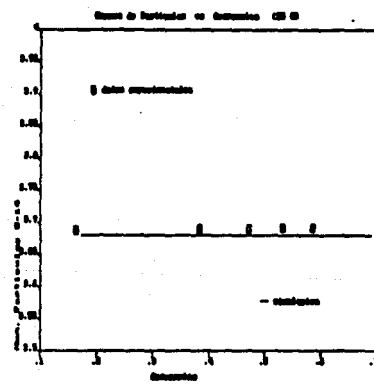


Figura 3.7c : Evolución del número de partículas.
SistM : $T = 80^{\circ}\text{C}$ (caída 6).

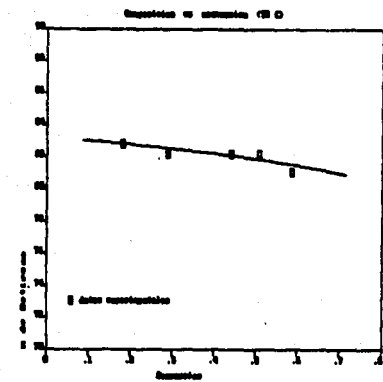


Figura 9.7d : Evolution de la composition en fonction de la conversion SBR/S : T_g = 65°C Copeïde 80.

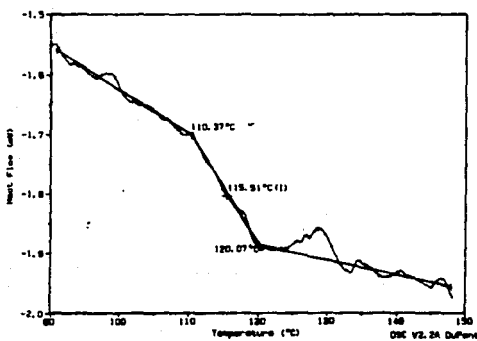


Figura 9.7e : Thermogram del copolímero /nat SBR S.
SBR/S : T_g = 65°C Copeïde 80.

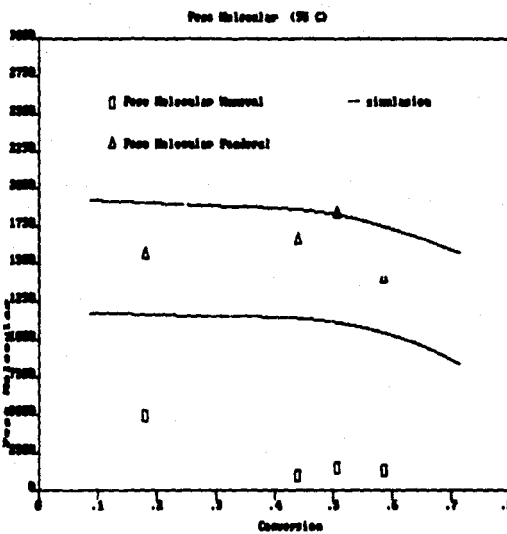


Figura 3.7f : Evolucion de los pesos moleculares.
 SraMS : $T = 95^{\circ}\text{C}$ (corrida 6).

Efecto de la temperatura.

En la figura se muestra en forma comparativa la cinética de las corridas 2, 3, 4 y 5.

Al aumentar la temperatura del sistema aumenta la velocidad de reacción ya que como se ha visto los valores de la constantes cinéticas de polimerización son incrementadas. El modelo de simulación ha permitido estimar la constante de homopolimerización para el α -metilestireno a diferentes temperaturas, y disponiendo de estos pares de datos se hace una correlación lineal entre el logaritmo de la constante y el inverso de la temperatura de acuerdo a la ecuación de Arrhenius :

$$\ln K_{p_{21}} = -2.991.1676 \cdot (1/T) + 29.9919$$

$$\ln K_{p_{22}} = -822.278 \cdot (1/T) + 4.383$$

A continuación se muestran las variaciones de las constantes cinéticas con la temperatura :

T (°C)	K _{p₂₁} (lit/molseg)	K _{p₂₂} (lit/molseg)
40	92.545	3.888
50	124.979	6.292
55	143.278	6.548
60	165.884	6.792

Al tener una mayor velocidad de reacción, la cantidad de sólidos residual es menor y la estabilidad de la emulsión es aparentemente mayor.

El número de partículas aumenta conforme aumenta la temperatura

debido a que la velocidad de iniciación (R_i) es mayor, es decir, hay un mayor número de radicales en un tiempo menor para iniciar la polimerización, sin embargo, los problemas de estabilidad, sobre todo de la corrida 5, provocan que el número de partículas a 35°C sea menor que a 50°C :

T (°C)	M _p ≈ -14
40	-0.77
50	4.20
35	4.50
60	4.50

Con base en esta observación, se podría proponer un mecanismo de la pérdida de estabilidad de la emulsión : aparentemente al existir gotas de monómero en el sistema durante largos períodos de tiempo (persistencia del intervalo III), éstas colisionen con partículas de polímero y las disuelven hasta que se hacen gotas tan grandes que flocculan por efectos gravitatorios y aparentemente es un fenómeno aleatorio.

Gracias a la simulación fue posible calcular la energía de activación del α -estilestireno, haciendo uso de la correlación obtenida entre la temperatura y la constante de homopolimerización. En dicha correlación, la pendiente representa a la energía de activación dividida por la constante universal de los gases.

$$\ln K_{P_{35}} = 4.385 - 822.278 \cdot (1/T)$$

$$E_a/R = -822.278$$

$$E_a = 6.836 \text{ J/mol K}$$

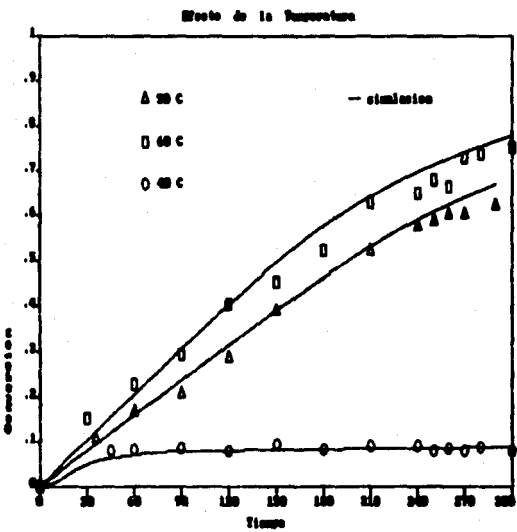


Figura 9.8a: Influencia de la temperatura en la conversión : S/aMS : 75/25.

Corrida 6

Condiciones :

Alimentación : 73/25 (B/dMS)

Temperatura : 50 °C

% sólidos : 20%

Emulsificante : 5.0 gr

Existe una muy buena correlación entre los valores de conversión obtenidos por gravimetría y los valores prediches por el modelo de simulación. En esta corrida no se presentó el problema de la estabilidad, por lo que se alcanza una mayor conversión que en la corrida 1 debido a que hay un mayor número de partículas presentes en el sistema.

El diámetro seco de las partículas crece durante todo el tiempo de reacción y el número de partículas se mantiene constante, es decir, se da el mecanismo de nucleación micelar.

En la gráfica de composición se nota que la incorporación del α -mestilestireno se acelera al final de la reacción, esto es porque en la fase inicial de la reacción se consume una mayor cantidad de estireno y, al final existe una mayor proporción de α -mestilestireno disponible para seguir reaccionando. La composición del copolímero final fue de 88.7% de estireno y 19.3% de α -mestilestireno, correspondiéndole una temperatura de transición vitrea de 110.78 °C también 10 °C mayor que la del poliestireno.

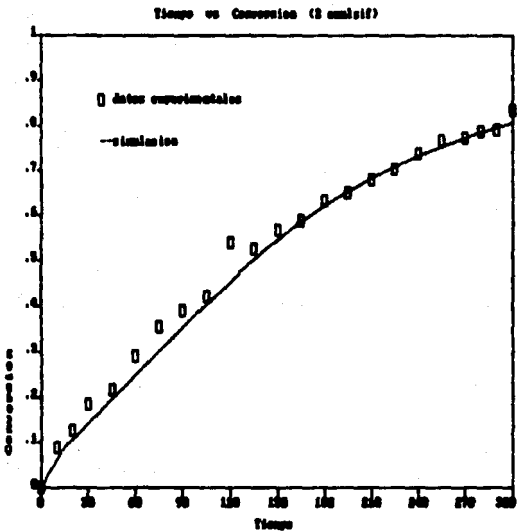


Figura 3.9a: Conversión en función del tiempo.
Síntesis : LSS = 5.0 g. (corrida 6).

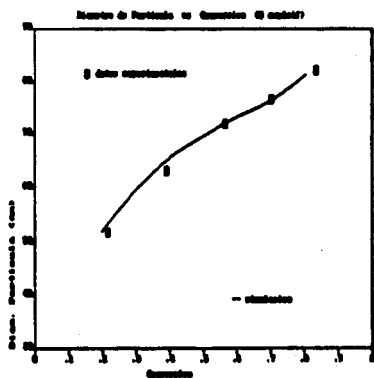


Figura 2.6b: Evolución del diámetro de partícula.
SACM : 100 mg. g. Caudal 60.

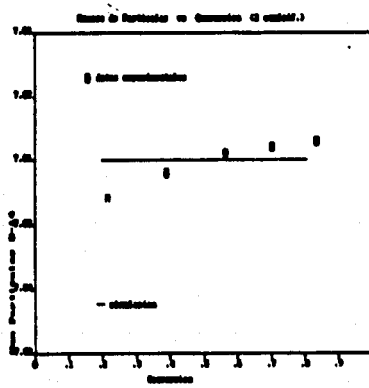


Figura 2.6c: Evolución del número de partículas.
SACM : 100 mg. g. Caudal 60.

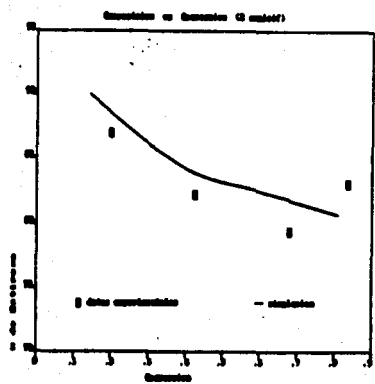


Figura 2.6d: Evolución de la composición en función de la conversión. Sust : LSE = 0.0 g. (Carrera 6).

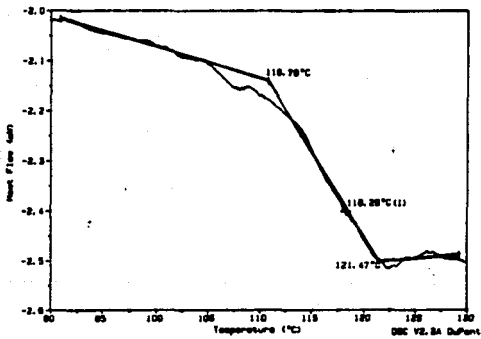


Figura 2.6e : Termograma del copolímero /nol 600 6.
Sust : LSE = 0.0 g. (Carrera 6).

Corrida 7

Condiciones :

Alientación : 75/25 (S/nH₂)

Temperatura : 30°C

% sólidos : 20%

Emulsificante : 7.5 gr

En general se tiene buena correlación entre los valores experimentales y los valores predichos por el modelo de simulación, pero a partir de los 250 minutos se presenta, nuevamente, el problema de la estabilidad de la emulsión, pasa a que se esperaría que con una concentración mayor de agente tensioactivo, la emulsión se tornaría mucho más estable. Sin embargo, se alcanzó una conversión mayor que en la corrida 2 porque hay más partículas y la velocidad de reacción se ve incrementada y, además se favorece el mecanismo de nucleación molecular.

El diámetro de partícula seca evoluciona regularmente con el tiempo, lo que sugiere, de nuevo, que el problema de la estabilidad es provocado por las gotas de condensado residual y, aparentemente, al existir una mayor cantidad de emulsificante disponible, se forma un mayor número de gotas de condensado que podrían chocar y aumentar su tamaño hasta coalescer. También ilustra la situación que aunque en la corrida 6 hay más emulsificante que en la corrida 2 no se presentó en la primera el problema de estabilidad y en la última si, lo que hace pensar que aunque hay factores que favorezcan la estabilidad de la emulsión, este fondoene es más bien aleatorio.

La composición del copolímero final obtenida mediante RMN H¹ fue de 82.86% en mol de estireno, con una temperatura de transición vitrea de 100.73 °C.

En cuanto a los pesos moleculares hay poca precisibilidad y poca congruencia entre los valores calculados y los obtenidos por GPC.

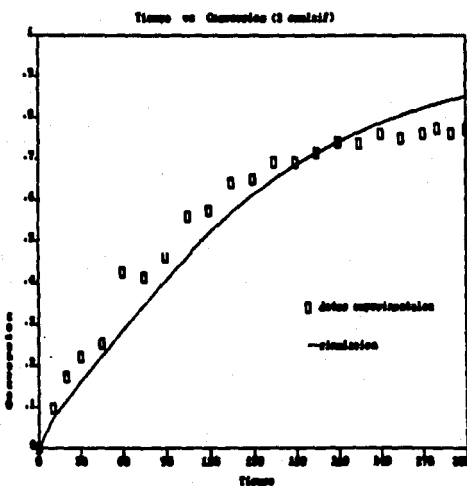


Figura 3.10a: Conversión en función del tiempo.
Sistema : LSS = 7.5 g. (corrida 7).

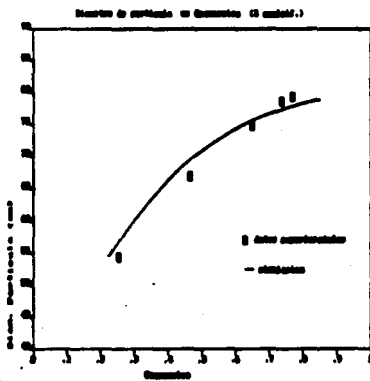


Figura 2.10a : Evolución del diámetro de partícula.
Serie 1 : LSS = 7.6 g. Cuerpo 72.

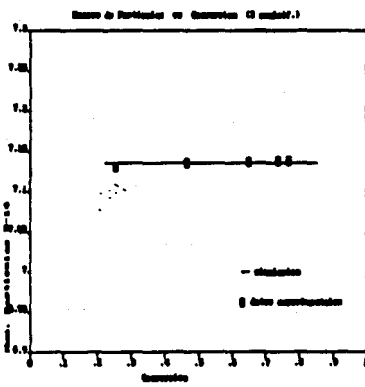


Figura 2.10b : Evolución del número de partículas.
Serie 1 : LSS = 7.6 g. Cuerpo 72.

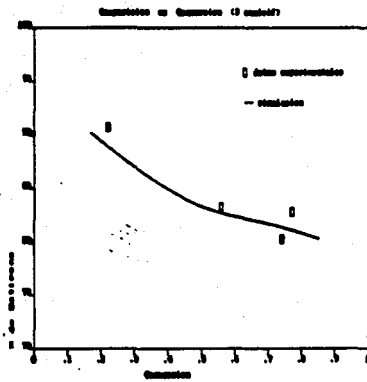


Figura 3.10d : Evolución de la composición en función de la conversión. $S_0 = 0$; $L_0 = 7.6$ g. Temperatura: 100.

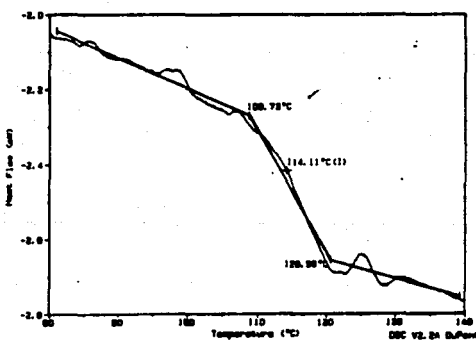
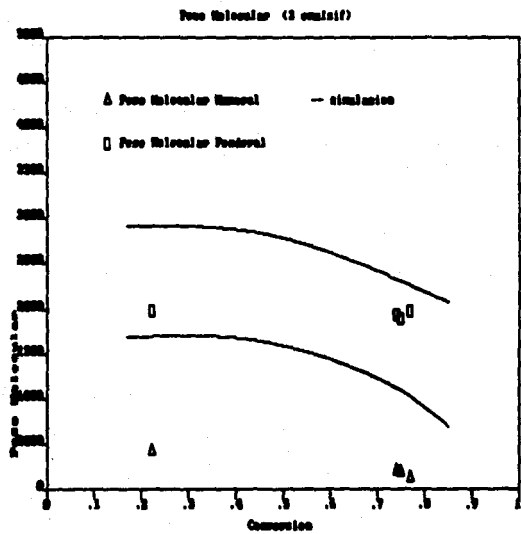


Figura 3.10e : Termograma del compuesto final a 100 °C.
S₀ = 0 ; L₀ = 7.6 g. Temperatura: 100.



Efecto del Emulsificante

En la figura siguiente se muestra la conversión en función del tiempo para tres distintas concentraciones de agente tensioactivo. Es claro que cuanto mayor sea la concentración de emulsificante habrá un mayor número de partículas presentes y una mayor velocidad de reacción, alcanzándose cada vez una mayor conversión final en el tiempo de reacción. En todos los casos el número de partículas fue constante, es decir, siempre predominó el mecanismo de nucleación micelar. A continuación se muestra una tabla donde se ve el el número de partículas a diferentes concentraciones de emulsificante.

Mp g-14	LSS (gr.)
4.0	2.5
7.06	5.0
7.13	7.5

La composición final de todos los copolímeros es prácticamente la misma : 80% de estireno, lo que no representa ningún avance con respecto a la corrida E.

Al aumentar la concentración de agente tensioactivo aumenta el número de gotas de condensado y, por tanto, aumentan las probabilidades de colisión entre gotas y partículas aumentando así la instabilidad.

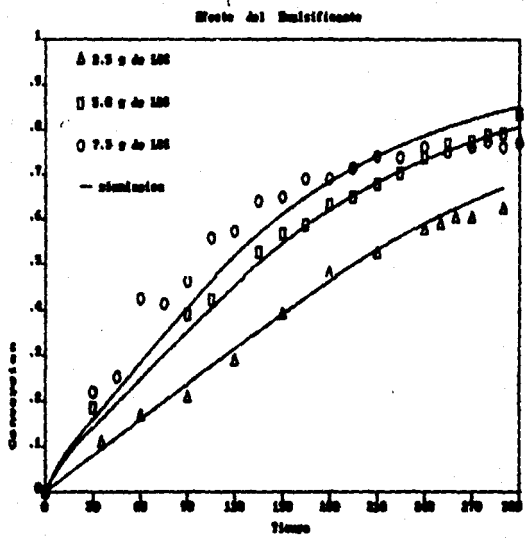


Figura 3.11 : Efecto de la concentración de emulsificante en la conversión : S/AMG.

ESTA TESIS NO DEBE SALIR DE LA BIBLIOTECA

Corrida 8

Condiciones :

Alistamiento : 75/25 (g/gME)

Temperatura 50 °C

% sólidos : 10%

Emulsificante : 2.5 gr

En esta corrida se tiene, de nuevo, muy buena correlación entre los datos experimentales y los valores de simulación. Se alcanzó una conversión final de 98.66% en 5 horas de reacción. Este incremento tan grande se puede deber a la combinación de dos factores: primero, a que existe un mayor número de núcleos donde inicia la polymerización (aumento en el número de partículas) y, segundo, a que hay una mayor concentración de iniciador con respecto a la concentración de monómeros.

En esta corrida no se presentó el problema de la estabilidad, ya que al tener conversiones elevadas, probablemente no hay suficiente monómero y las probabilidades de colisión disminuyen significativamente. Se nota una evolución continua del diámetro de partícula durante toda la reacción y el número de partículas se mantiene constante.

La composición del copolímero es de 76.92% en mol de estireno y una temperatura de transición vítrea de 111.16 °C y de 113 °C de acuerdo con el modelo de Fox.

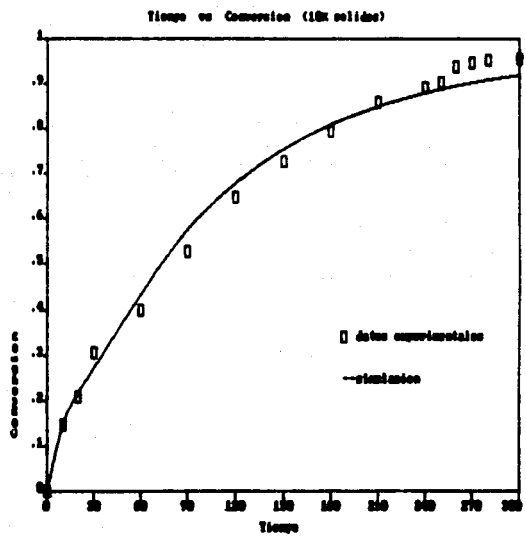


Figura 9.12a : Conversión en función del tiempo.
S/AMS : 10% de sólidos (corrida 8).

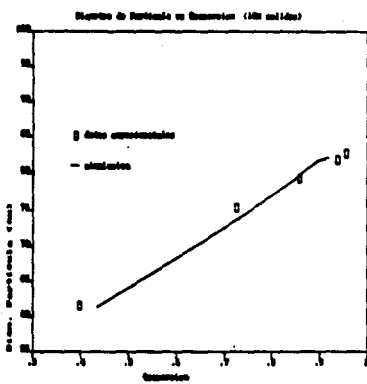


Figura 3.15b : Evolución del diámetro de partícula.
Series 100 : 100 de sólidos (Coated S).

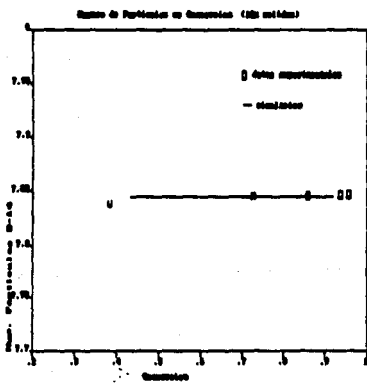


Figura 3.15c : Evolución del número de partículas.
Series 100 : 100 de sólidos (Coated S).

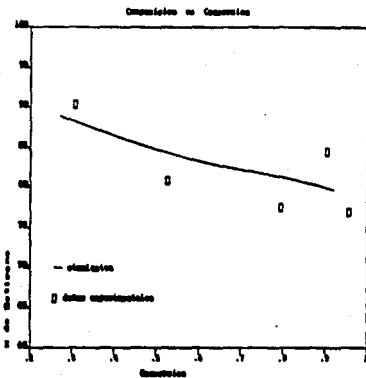


Figura 3.10d : Evolución de la composición en función de
el tiempo. S-005 : IOT de molídeos. Cuarzo 83.

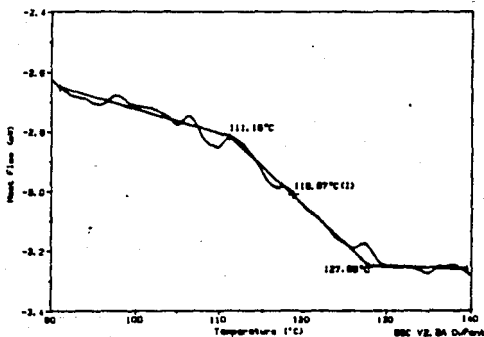


Figura 3.10e : Termograma del copolímero /IOT T70 S.
S-005 : IOT de molídeos. Cuarzo 83.

Corrida 6

Condiciones :

Alimentación : 50/50 (S/cM)

Temperatura : 39°C

% sólidos : 10%

Emulsificante : 5.6 gr

En esta corrida hubo problemas de estabilidad, a partir de los 200 minutos, los datos experimentales se empiezan a alejar de la curva de simulación. La estabilidad se pierde, en este caso, porque aunque sólo hay 10% de sólidos, la mitad de éstos corresponden a α -metilestireno, que por su baja reactividad permanece durante mucho tiempo sin reaccionar en forma de gotas.

Sin embargo, como el cálculo del número de partículas no toma en cuenta la tasa de sólidos, no se observa ninguna variación importante. El diámetro seco de partícula aumenta a lo largo de toda la reacción y el número de partículas se mantiene constante también a lo largo de toda la reacción (nucleación micelar).

Lo más significativo de esta corrida es que se modificó la composición de la alimentación para obtener un copolímero más rico en α -metilestireno (36%) y como consecuencia la temperatura de transición vítrea se elevó hasta alrededor de los 123 °C, que es 23°C más elevada que la del poliestireno.

10 x solide, 90/90 , 30 C

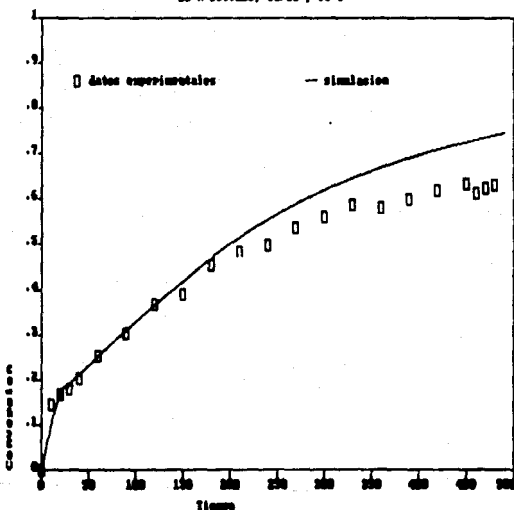


Figure 3.19a : Conversion en fonction du temps.
S/M/S : 10% de sol., 90/90 (corrida 9).

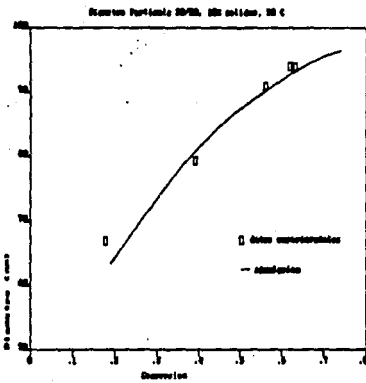


Figura 2.13a : Evolución del diámetro de partícula.
Sistema : 100 ml sol., 20/20 Cerrado 02.

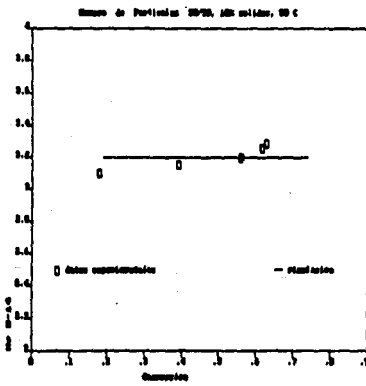


Figura 2.13b : Evolución del número de partículas.
Sistema : 100 ml sol., 20/20 Cerrado 02.

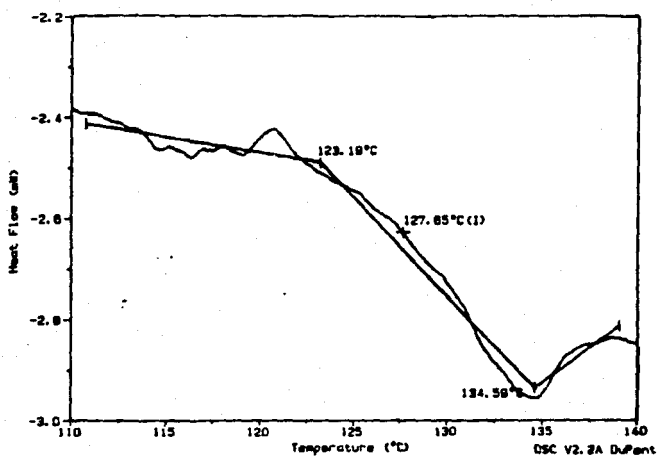


Figura 3.13d : Termograma del copolímero final 67% S.
S/mMS : 10% de molidos, 50/50. (corriente B).

Efecto de la Tasa de Sólidos

En la figura se muestra las dos corridas con diferente tasa de sólidos. Es claro que al disminuir la tasa de sólidos se incrementa en forma importante la conversión final en el mismo tiempo de reacción. Para el caso en que se tiene 10% de sólidos es importante resaltar que se lograron conversiones muy elevadas en forma estable, debido al incremento en las velocidades de reacción y a que hay menos gotas presentes en el sistema con lo que disminuye la probabilidad de colisión entre gotas de sondero y partículas de polímero.

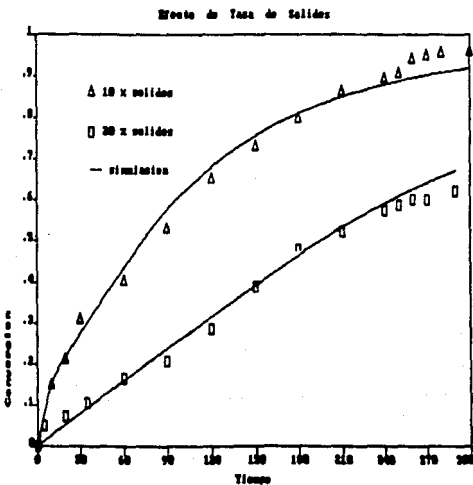


Figura 3.14 : Efecto del % de sólidos en la conversión S/W/S.

Efecto de la Composición de la Alimentación (24).

En la figura se muestra en forma comparativa los datos de conversión en función del tiempo para las corridas 1, 10, 11, 12 y 13 las cuales tienen diferentes proporciones de α -metilestireno en la alimentación. Se observa que conforme aumenta la proporción de α -metilestireno la velocidad de reacción disminuye debido a la baja reactividad de éste y, por tanto, las conversiones alcanzadas son cada vez menores. Además que la estabilidad es más difícil de conservar.

En cambio, conforme existe mayor proporción de α -metilestireno en la alimentación se obtendrán copolímeros más ricos en éste pero se tendrán siempre rendimientos bajos y problemas de estabilidad de la emulsión que redundarán en conversiones bajas.

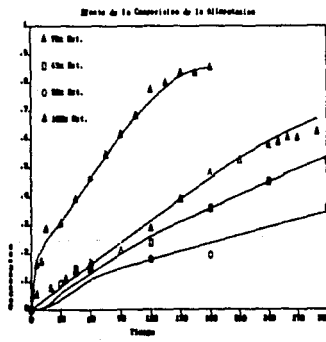


Figura 2.10 : Efecto de la composición de la alimentación en la conversión (%).

Conclusiones

El sistema de copolimerización de estireno y α -metilestireno en emulsión es una que presenta diversas fuentes que hacen que la copolimerización no se lleve a cabo fácilmente, por lo que solamente se habían obtenido conversiones pobres. Este hecho se atribuye a, primero, la baja reactividad del α -metilestireno, al efecto antependiente y a la pérdida de estabilidad de la emulsión.

El aumento en la conversión final se logró primera, con el aumento de la temperatura del sistema, ya que los valores de las constantes de polimerización se incrementan y, por tanto, también se eleva la velocidad de polimerización.

Segundo, con el aumento de la concentración de agente tensioactivo ya que con esto se ausenta el número de lugares en donde es posible la polimerización y éste es directamente proporcional a la velocidad de polimerización.

Tercero, con la disminución de la tasa de sólidos, con esto se logra que exista una cantidad mayor tanto de iniciador como de agente tensioactivo con relación a la concentración de los monómeros por lo que la velocidad de polimerización también aumenta.

Es importante hacer notar que la variación de los parámetros anteriores solamente tienen un efecto en la conversión final y no en el contenido de α -metilestireno en el copolímero. Con el objeto de aumentar la proporción de éste en el copolímero y al mismo tiempo lograr conversiones elevadas, se varió la composición en la alimentación y se disminuyó la tasa de sólidos en una misma corrida (corrida 9), lográndose copolímeros con una temperatura de

transición vitrea de aproximadamente 123 °C.

En todas las corridas que se realizaron el número de partículas se mantuvo constante, lo que sugiere que el mecanismo de nucleación que se presenta en este sistema es el micelar. Además se comprobó por medio de la simulación que no se presenta el efecto vitreo, es decir, la disminución de la velocidad de polimerización por la rigidización de las cadenas de polímero.

Las reacciones de copolimerización de estireno y α -metilestireno presentan, al final de la reacción, una disminución de la velocidad de polimerización que se había atribuido al efecto antependitiso, pero por medio de la simulación del proceso se comprobó que dicha disminución se debe tan solo a la extraordinariamente baja reactividad del α -metilestireno, es decir, el efecto antependitiso no se presenta en las condiciones experimentales y es probable que se presente cuando existe en el sistema una mayor concentración de α -metilestireno, lo que traería como consecuencia otra serie de problemas como : conversiones muy bajas debida a la presencia de grandes cantidades (mayores 50%) de α -metilestireno y poca estabilidad de la emulsión.

Otra causa por la que en algunas corridas hubo un estancamiento de la polimerización fue la pérdida de estabilidad de la emulsión. Este fenómeno se presenta aparentemente en forma aleatoria y se manifiesta por la aparición de flóculos de polímero hinchados en los sonderos. La formación de dichos flóculos se produce cuando partículas de polímeros chocan con gotas de sondero absorbiéndose en ellas y precipitándose, por lo que la inestabilidad se favorece cuando el intervalo II de la polimerización en emulsión se extiende

Simulación

El modelo de simulación que se utilizó para todas las corridas fue desarrollado por Vázquez F.S (24), está basado en el modelo de Hosoura (15), se desarrolló específicamente para el sistema de copolimerización de estireno y α -metilestireno e incluye al efecto antipendulino.

Las principales ecuaciones que resuelve este modelo son las siguientes :

A. - Conversiones parciales :

$$\frac{dx_1}{dt} = \frac{K_{P11} [M_1]_p \bar{n}_1 M_p}{[M_1]_p N_A} + \frac{K_{P21} [M_2]_p \bar{n}_2 M_p}{[M_2]_p N_A}$$

$$\frac{dx_2}{dt} = \frac{K_{P22} [M_2]_p \bar{n}_2 M_p}{[M_2]_p N_A} + \frac{K_{P12} [M_1]_p \bar{n}_1 M_p}{[M_1]_p N_A} + \frac{K' P_{22} \bar{n}'_2 M_p}{[M_2]_p N_A}$$

Se resuelven mediante el método numérico de Runge-Kutta de 4º orden.

B. - Estimación de $[M]_p$:

Gracias al ensorso parecido entre los valores de hinchamiento de los homopolímeros en sus sonduras del estireno y del α -metilestireno (5.3M y 5.3M respectivamente), la concentración de sondura en la partícula se calculan :

$$[M]_p = [M]_{p,0} \theta_M$$

en la que θ_M es la composición del sondura i en las gotas.

C.- Estimación de \bar{n} :

Este sistema de polimerización ha demostrado comportarse como el caso II de Beith-Guard, pudiéndose tener a $\bar{n} = 0.5$.

a) \bar{n}_1 :

$$\text{Se define B caso (24) : } B = \frac{Kp_{21}}{Kp_{12}} + \frac{(M_1)_p}{(M_2)_p}$$

$$\bar{n}_1 = \frac{\bar{n}}{1 + B}$$

b) \bar{n}_2 :

$$\bar{n}_2 = \frac{B + \bar{n}}{1 + B}$$

c) \bar{n}'_2 :

$$\bar{n}'_2 = \frac{\beta - n_2}{\gamma(1-\beta) + 1}$$

D.- Constantes de Polimerización :

Las constantes de polimerización son obtenidas de la literatura a excepción de Kp_{21} que se determina mediante ajustes de datos experimentales (24).

E.- Número de partículas :

El número de partículas se obtiene a partir de las mediciones de diámetro de partícula por dispersión de luz.

F.- Conversión total :

La conversión total se calcula mediante :

$$X = \frac{(M_1)_0 X_1 + (M_2)_0 X_2}{(M)_0}$$

G.- Composición del copolímero :

. Se calcula en función de las conversiones individuales mediante :

$$Y_1 = \frac{[M_1]_0 X_1}{[M_1]_0 X_1 + [M_2]_0 X_2}$$

H.- Temperatura de Transición vitrea :

Estas se calculan siguiendo el modelo de Fox :

$$\frac{1}{T_g} = \frac{M_A}{T_{ghpa}} + \frac{M_B}{T_{ghpb}}$$

en donde MA y MB son las fracciones masa de los monómeros A y B en el copolímero y Tghpa y Tghpb son las temperaturas de transición vitreas de cada homopolímero.

A continuación se presenta el listado del programa de simulación utilizado.

```

10 REM COPOLIMERIZACION EN EMULSION CON EAP
20 REM PROGRAMA DPLM
30 REM VERSION CON PESOS MOLECULARES
40 REM Y CALCULO DE TG (FOX)
50 DEF FNRI(X)= INT ((X*1000! + .5)/1000!
60 NA= 6.023E+23
70 DT =1
80 NR=.5
90 REM CONDICIONES INICIALES INTERV. II
100 T=0
110 X1=0
120 X2= 0
130 REM VALORES GENERALES DE LA COPOLIM.
140 READ MM1,MM2,DM1,DM2,DP
150 READ CM
160 READ KP(1,1),KP(2,2),R1,R2,R
170 KP(1,2)= KP(1,1)/R1
180 KP(2,1) = KP(2,2)/R2
190 KD22= KP(2,2)/(R=1000)
200 READ KM
210 READ RW
220 REM VALORES DE LA CORRIDA
230 READ M01,M02
240 M0= M01+ M02
250 MM= M01*MM1 +M02*MM2
260 REM CALC. DE CONC. DE ALIM.
270 CM1= CM*F1
280 CM2= CM*F12
290 M01= M01+MM1
300 M02= M02+MM2
310 READ NP
320 REM VALORES DE TG
330 READ TG1,TG2
340 REM RUNGE-KUTTA
350 FOR J= 1 TO 310
360 XC1= X1
370 XC2= X2
380 GOSUB 880
390 K1=DX1
400 L1= DX2
410 XC1= X1 + DT/2*K1
420 XC2= X2 + DT/2*L1
430 GOSUB 880
440 K2= DX1
450 L2= DX2
460 XC1= X1 + DT/2*K2
470 XC2= X2 + DT/2*L2
480 GOSUB 880
490 K3= DX1
500 L3= DX2

```

```

510 XC1= X1 + DT*K3
520 XC2= X2 + DT*L3
530 GOBUB 888
540 K4= DX1
550 L4= DX2
560 X1= X1 + DT/6*(K1+2*K2+2*K3+K4)
570 X2= X2 + DT/6*(L1 +2*L2+2*L3+L4)
580 REM CALCULO DE LA CONVERSION TOTAL
590 X = (M01*X1+M02*X2)/M0
600 REM CALCULO DE LA COMPOSICION DE COPOLIMERO
610 Y1= M01*X1/(M0*X)
620 T = T + DT
630 REM CALCULO DE PESOS MOLECULARES
640 CTM= 38*KM*CM*NP/NA/(M01*D11 + M02*D12)
650 BT= 68*RW/NA/(M01*D11 + M02*D12)
660 PMM= (MM1*CM1+MM2*CM2)/CM
670 REM PESOS MOLECULARES INSTANTANEOS
680 MM1= PMM/(BT/2 + CTM)
690 MM2= PMM*(2*CTM+3*BT)/(CTM+ BT)^2
700 REM PESOS MOLECULARES ACUMULATIVOS
710 IN1=(X-XA)/MM1 + IN1
720 IN2 = (X-XA)*MM1 + IN2
730 MN = X/IN1
740 MW = IN2/X
750 XA= X
760 REM CALCULO DE TB (FOX )
770 MMW = MM1*Y1 + MM2*(1-Y1)
780 W1 = Y1*MMW/MM1
790 TGP = (W1/TG1 + (1-W1)/TG2)^-1
800 REM IMPRESION DE RESULTADOS
810 IF (T/30)(> INT (T/30) THEN 860
820 PRINT " T =";T; "MINS" X(X)= ";FNR(X*100)
830 PRINT " X1 (% MOL) = ";FNR(X1*100); " X2 (% MOL) = ";FNR(X2*100)
840 PRINT " Y1 (% MOL) = ";FNR(Y1*100); " TB , FOX = ";FNR (TGP -273.16); "
850 PRINT " MN = ";FNR(MN); " G/MOL MW = ";FNR(MW); " G/MOL "
860 NEXT J
870 END
880 REM SUBRUTINA DE CALCULO DE DX1/DT Y DX2/DT
890 XC= (M01*XC1 +M02*XC2)/M0
900 IF MG2 (<= 0 THEN 1080
910 IF MG1 (<= 0 THEN 1020
920 F11 = M01*(1-XC1)/(M0*(1-XC))
930 F12 = 1 -F11
940 CM1= CM*F11
950 CM2= CM*F12
960 MP1= (MM1*CM1+MM2*XC/DP)/(1- MM1*CM1/DM1 - MM2*CM2/DM2)
970 MP2= M01*MM2*CM2/(MM1*CM1)
980 MG1= M01*MM1*(1-XC1) - MP1
990 MG2= M02*MM2*(1-XC2) - MP2
1000 GOTO 1130

```

```

1010 REM INTERVALO III
1020 MP1= MO1*MM1*(1-XC1)
1030 MP2= (CM1*(MP1/DM1 + MM*X/DP) - MP1/MM1) / (1/MM2 - CM/DM2)
1040 CM1= (MP1/MM1)/(MP1/DM1 + MP2/DM2 + MM*X/DP)
1050 CM2= CM - CM1
1060 MG2 = MO2*MM2*(1-XC2) - MP2
1070 GOTO 1130
1080 MP1= MO1*MM1*(1-XC1)
1090 MP2= MO2*MM2*(1-XC2)
1100 CM1= (MP1/MM1)/(MP1/DM1 + MP2/DM2 + MM*X/DP)
1110 CM2= CM1*(MP2/MM2) / (MP1/MM1)
1120 REM CALC. DE NUM. DE RADIC.
1130 A= KP(2,1)*CM1/(KP(1,2)*CM2)
1140 NR1= A*NR/(1+A)
1150 NR2= NR-NR1
1160 REM EFECTO ANTEPEMULTIMO
1170 B= 1 + R*1000! *CM2 / R/R1*CM1*1000!
1180 BET= (B-B0(R*B/2 - a*R*CM2*1000!))/2
1190 GM= (R/R2*CM1*1000! + R*CM2*1000! - BET) / (R*CM2*1000!)
1200 ND2= BET / (GM*(1-BET)+1) *NR2
1210 REM CALCULO DE DX1/DT Y DX2/DT
1220 DX1= 60*(KP(1,1)*CM1*NR1 + KP(2,1)*CM1*NR2)*(NP/(NA*MO1))
1230 DX2= 60*(KP(2,2)*CM2*NR2 - KD22*ND2 + KP(1,2)*CM2*NR1)*(NP/(NA*MO2))
1240 RETURN
1250 DATA 184.14, 118.18, 0.903, 0.91, 1.15
1260 DATA SE-3
1270 DATA 1.29E5, 6.30E3, 1.3, .3, ,1130
1280 DATA 1.5
1290 DATA .75E13
1300 DATA 1.88E-3, 5.33E-4
1310 DATA 4.200E14
1320 DATA 374.66, 449.16

```

Bibliografia.

- 1.- Sandrupt F., POLYMER HANDBOOK, E.H., Intergut, II (1975).
- 2.- Becher P., EMULSIONS THEORY AND PRACTICE, Reinhold Publishing Corporation, N.Y., (1967).
- 3.- Bueche F., PHYSICAL PROPERTIES OF POLYMERS, Wiley, N.Y., (1962).
- 4.- Deshpande D.D., PHYSICAL CHEMISTRY OF MACROMOLECULES, Panjab, India, (1984).
- 5.- Garcia Rubio L.H., Mc Gregor J.F. y Hensilec A.E., ADV. CHEM. SERIES, 283, 311, (1983).
- 6.- Gardon J.L., J. POLYM. SCI. A1, 11, 241, (1973).
- 7.- Giannetti E., Storti G., J. POLYM. SCI., A, 26, 1865, (1988).
- 8.- Gómez R.B., Barres B.B., J. POLYM., SCI., A, POLYM. CHEM., 353, 63, (1987).
- 9.- Hansen F.K., Ugelstad J., "PARTICLE EMULSION MECHANISMS", Irja Piirma, "Emulsion Polymerization", Academic Press, Londres, (1982).
- 10.- Jenkins R.D. edit., POLYMERS SCIENCE, A MATERIALS SCIENCE HANDBOOK, North Holland Publishing Co., Amsterdam, (1977).
- 11.- Kirk-Othmer, ENCYCLOPEDIA OF CHEMICAL TECHNOLOGY, 3^a ed., V. 21, J. Wiley, N.Y., (1983).
- 12.- Lowry G.G., POLYM. SCI., 42, 463-477, (1968).
- 13.- Marten F.L., Hensilec A.E., J. APPL. POLYM. SCI., 27, 489, (1982).

- 14.- Melik , Fagler , FUNDAMENTALS OF COLLOIDAL STABILITY IN QUIESCENT MEDIA, .
- 15.- Nezura M., Fujita K., MAKROMOL. CHEM. SUPPL., 23, (1985).
- 16.- Nezura M., "DESORPTION AND REABSORPTION OF FREE RADICAL IN DILUTION POLYMERIZATION", Irja, Piirma, "Emulsion Polymerization, Academic Press, Londres, (1982).
- 17.- Odian G., PRINCIPLES OF POLYMERIZATION, J. Wiley, N.Y., (1976).
- 18.- O'Driscoll K.F., Gasperro F.P., J. MACROMOL. SCI. CHEM., A1, 643, (1967).
- 19.- Philip P.Y., et all., POLYM. BULL., 12, 331, (1984).
- 20.- Sebastian D.H., Biesenberger J.A., POLYM. ENG. SCI., 19, 3, (1979).
- 21.- Soh S.K., Sundberg D.C., J. OF POLYM. SCI. C, 20, 1345, (1982).
- 22.- Vanderhoff J.M., J. POLYM. SCI., Symposium, 72, 198, (1965).
- 23.- Vázquez F.S., Rosírez M., Cruz M.A., MEMORIAS., IV SIMPOSIO NACIONAL DE POLIMEROS, EPM, México, (1989).
- 24.- Vázquez F.S., Tesis, Facultad de Química, UNAM, México, (1990).

durante un tiempo prolongado, aumentando así las probabilidades de colisión. Cosa el α -metilestireno es muy poco reactivo, se siente en el sistema en forma de gotas durante mucho tiempo, por lo que es posible pensar que ésta es la causa de la poca estabilidad y del carácter aleatorio del fenómeno.